

Fig.1.

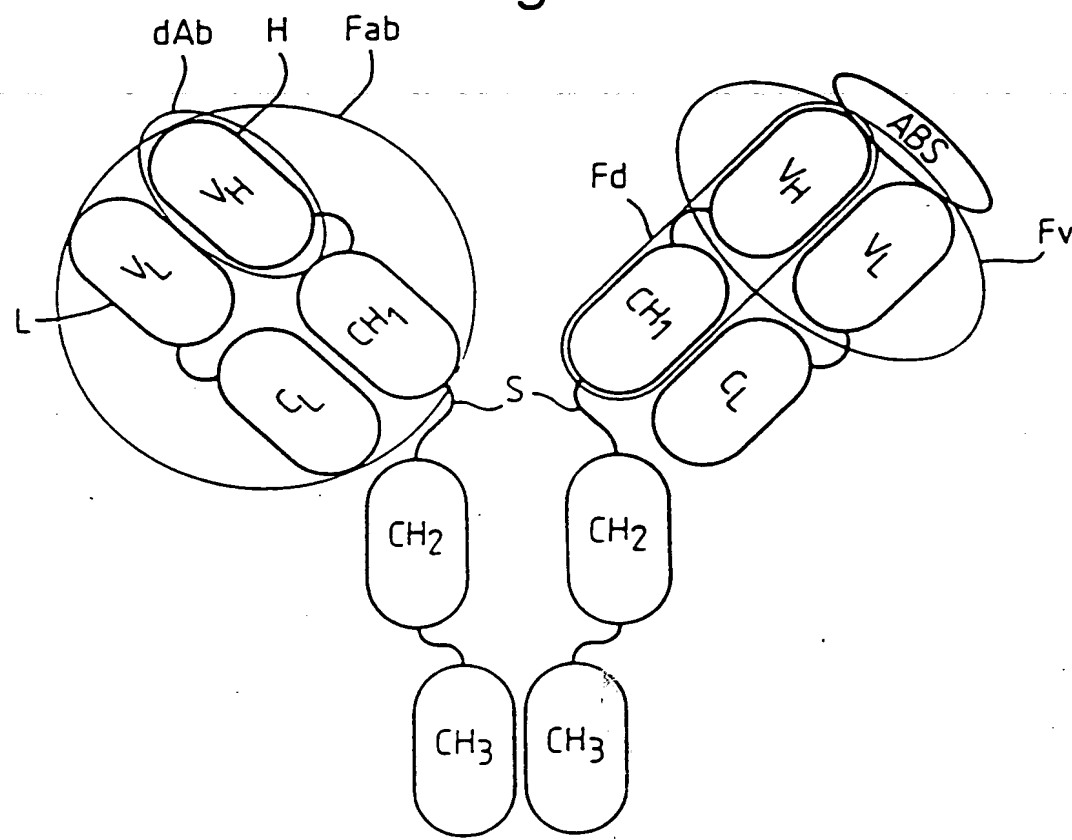


Fig.2 (i).

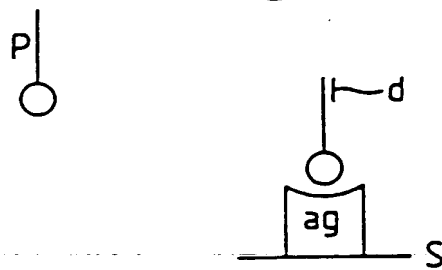


Fig.2 (ii).

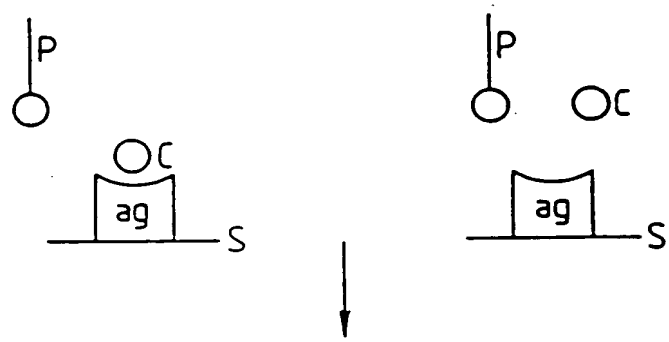
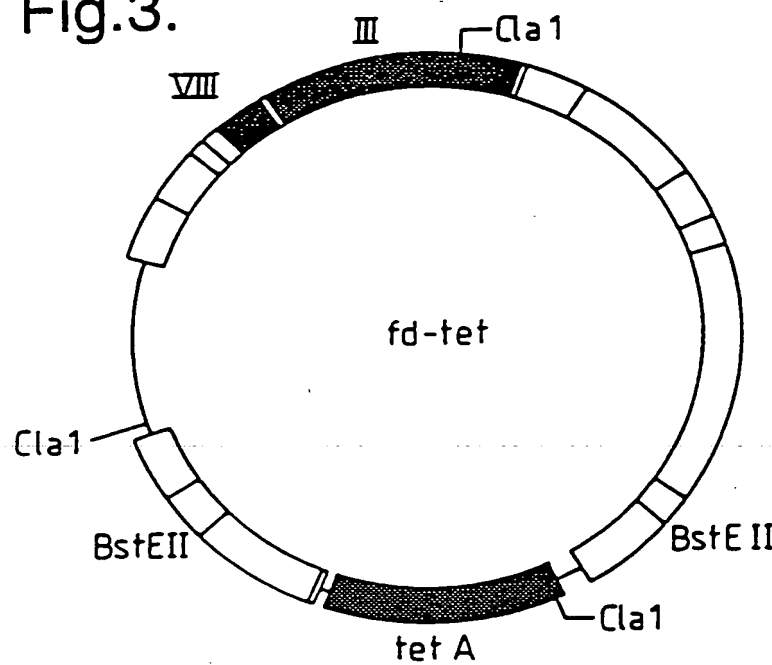


Fig.3.



fd - tet

cleave with BstEII

fill in with Klenow

re-ligate

FDT 6 Bst

in vitro mutagenesis (oligo 1)

FDTPs/Bs

in vitro mutagenesis (oligo 2)

FDTPs/Xh

(1653) ACA ACT TTC AAC AGT TGA GGA GAC GGT GAC CGT CGT AAG CTT CTG CAG TTG GAC CTG AGC
GGA GTG AGA ATA (1620)

Fig.4 (i).

Oligo 1

(1653) ACA ACT TTC AAC AGT TTC CCG TTT GAT CTC GAG CTC CTG CAG TTG GAC CTG
GTC GTC TTT CCA GAC GTT AGT
(1704)

Oligo 2

(1624) A TCT CAC TCC GCT

Oligo 3

GENE III
GENE III

Fig.4 (ii).

SIGNAL
CLEAVAGE SITE

(1624) A TCT CAC TCC GCT
(1650) GAA ACT GTT GAA AGT

Q V Q L Q V T V S S
B TCT CAC TCC GCT CAG GTC CAA CTG CAG AAG CTT AG GTC ACC GTC TCC TCA ACT GTT GAA AGT
PstI BstEII

Q V Q L Q L E I K R
C TCT CAC TCC GCT CAA CTG CAG GAG CTC GAG ATC AAA CGG GAA ACT GTT GAA AGT
PstI XbaI

Fig.5.

rbs M K Y L L P T A A
GCATGCAAATTCTATTCAAGGAGACAGTCATAATGAAATACCTATTGCTACGGCAGCC
 10 20 30 40 50 60
 SphI PelB leader
A G L L L L A A O P A M A Q V Q L Q E S
GCTGGATTGTATTACTCGCTGCCAACCAGGAGATGGGCCAGGTGCAGCTGCAGGAGTC
 70 80 90 100 110 120
 PstI

 G P G L V A P S Q S L S I T C T V S G F
GGACCTGGCCTGGTGGGGCCCTCACAGAGCCTGTCCATCACATGCACCGTCTCAGGGTTC
 130 140 150 160 170 180

 S L T G Y G V N W V R Q P P G K G L E W
TCATTAACCGGCTATGGTGTAAACTGGGTTOGCCAGGCTCCAGGAAAGGGTCTGGAGTGG
 190 200 210 220 230 240

 VHDI.3
 L G M I W G D G N T D Y N S A L K S R L
CTGGGAATGATTTGGGGTGTGGAAACACAGACTATAATTAGCTCTCAAATCCAGACTG
 250 260 270 280 290 300

 S I S K D N S K S Q V F L K M N S L H T
AGCATCAGCAAGGACAACCTCCAAGAGGCCAGTTCTAAAAATGAACAGTCTGCACACT
 310 320 330 340 350 360

 D D T A R Y Y C A R E R D Y R L D Y W G
GATGACACAGCCAGGTACTACTGTGCCAGAGAGAGATTATAGGCTTGACTACTGGGGC
 370 380 390 400 410 420

 Linker Peptide
 Q G T T V T V S S G G G G S G G G G S G
CAAGGCACCACGGTACCGTCTCTCAggtgaggcggttcaggcgagggtggctctggc
 430 440 450 460 470 480
 BstEII

 G G G S D I E L T Q S P A S L S A S V G
ggtgccggatcgGACATCGAGCTCACTCAGTCTCCAGCCTCCCTTCTGGGTCTGGGA
 490 500 510 520 530 540
 SacI

Fig.5 (Cont.).

E T V T I T C R A S G N I H N Y L A W Y
GAAACTGTACCATCACATGTGAGCAAGTGGAAATATTACACAATTATTAGCATGGTAT
550 560 570 580 590 600

Q Q K Q G K S P Q L L V Y Y T T T L A D
CAGCAGAAACAGGGAAAATCTCCTCAGCTCTGGTCTATTATACAACAACTTAGCAGAT
610 620 630 640 650 660

VKDI.3

G V P S R F S G S G S G T Q Y S L K I N
GGTGTGCCATCAAGGTTCAAGTGGCAGTGGATCAGGAACACAATATTCTCTCAAGATCAAC
670 680 690 700 710 720

S L Q P E D F G S Y Y C Q H F W S T P R
AGCCTGCAACCTGAAGATTTGGGAGTTATTACTGTCAACATTTGGAGTACTCCTGG
730 740 750 760 770 780

Myc Tag (TAG1)

T F G G G T K L E I K R E O K L I S E E
ACGTTGGTGGAGGGACCAAGCTGGAGATCAAACGGGAACAAAACATCTCAGAAGAG
790 800 810 820 830 840

XhoI

D L N * *
GATCTGAATTATAATGATCAAACCGTAATAAGGATCCAGCTCGAATT
850 860 870 880

EcoRI

Fig.6.

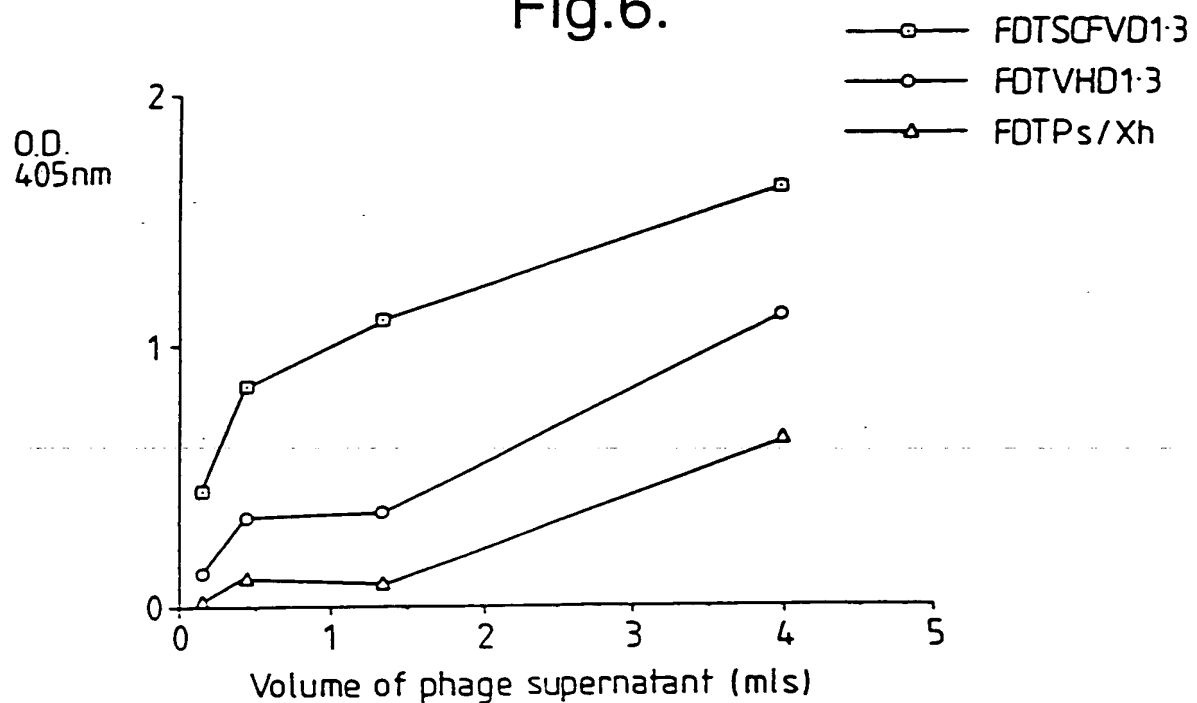


Fig.7.

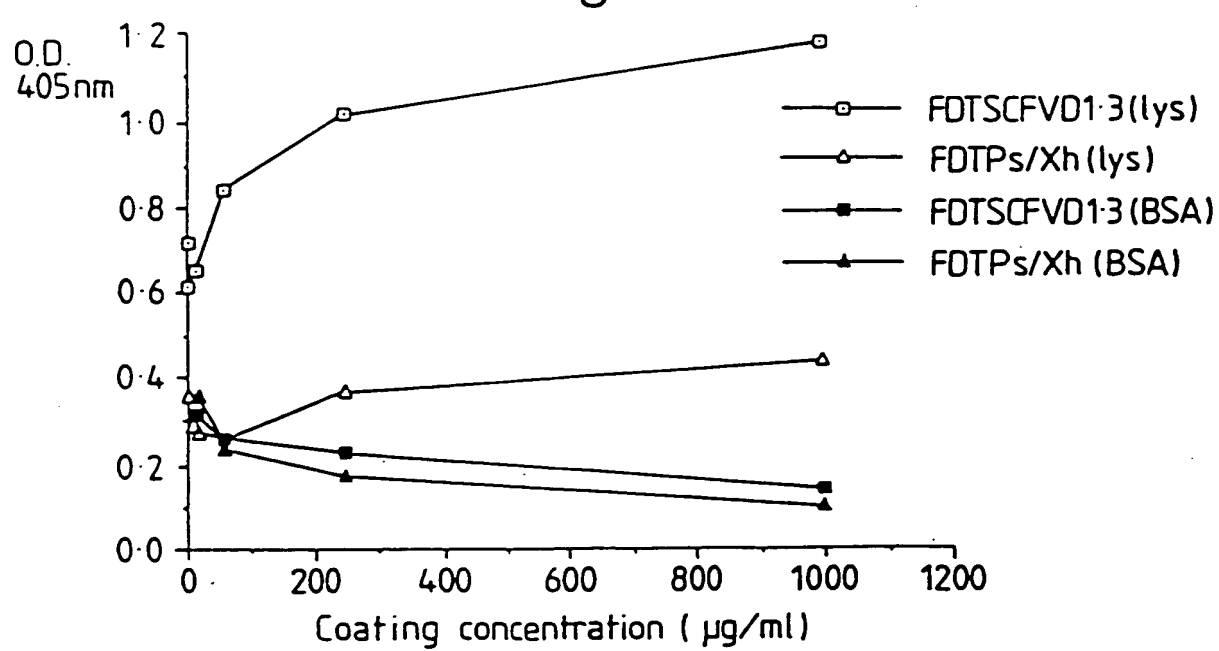


Fig.8.

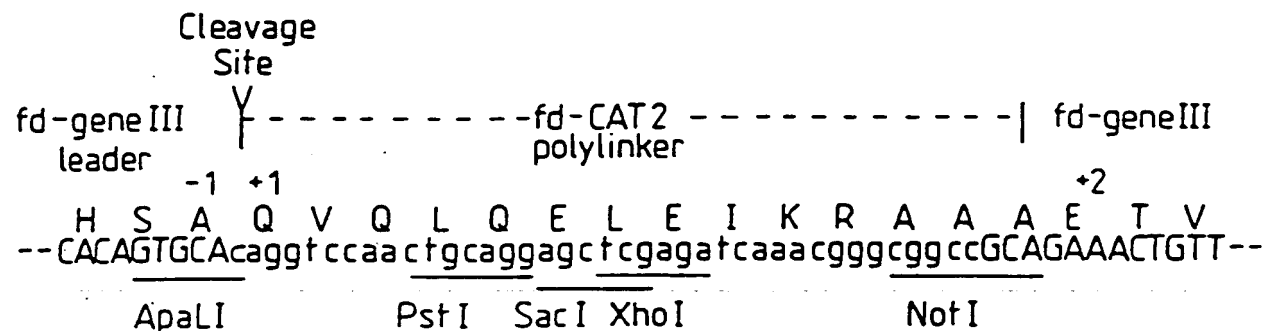


Fig.9.

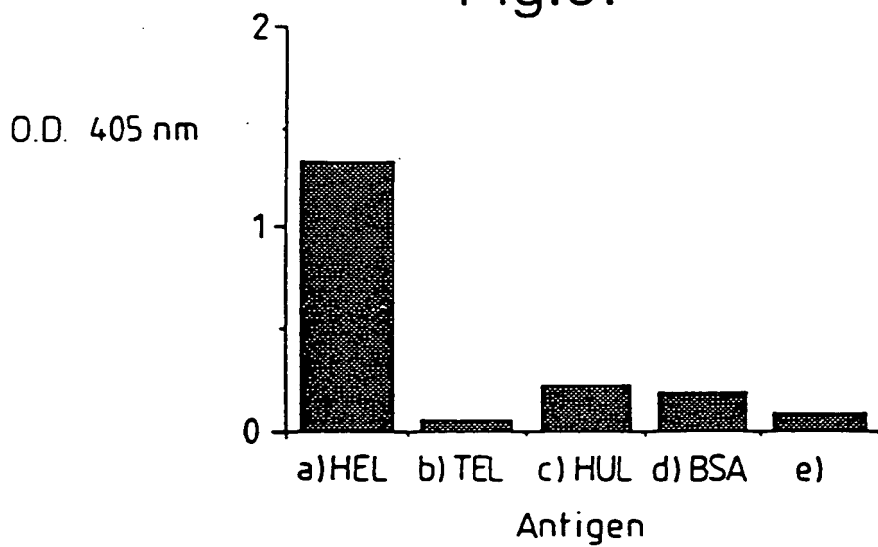


Fig.10.

M K Y L L P T A A
GCATGCAAATTCTATTCAAGGAGACAGTCATAATGAAATACCTATTGCCTACGGCAGCC
10 20 30 40 50 60

A G L L L L A A Q P A M A Q V Q L Q E S
GCTGGATTGTTATTACTCGCTGCCAACAGCGATGGCCAGGTCAGCTGCAAGGAGTCA
70 80 90 100 110 120

G P G L V A P S Q S L S I T C T V S G F
GGACCTGGCTGGTGGAGGAGCTCACAGAGCCTGTCATCACATGCACCGTCTCAGGGTTC
130 140 150 160 170 180

S L T G Y G V N W V R Q P P G K G L E W
TCATTAACCGGCTATGGTGTAAACTGGGTTGCCAGCCTCAGGAAAGGGTCTGGAGTGG
190 200 210 220 230 240

L G M I W G D G N T D Y N S A L K S R L
CTGGGAATGATTGGGTGATGAAACACAGACTATAATTAGCTCTCAAATCCAGACTG
250 260 270 280 290 300

S I S K D N S K S Q V F L K M N S L H T
AGCATCAGCAAGGACAACCTCAAGAGCCAAGTTCTAAAAATGAACAGTCTGCACACT
310 320 330 340 350 360

D D T A R Y Y C A R E R D Y R L D Y W G
GATGACACAGCCAGGTACTACTGTGCCAGAGAGAGATTATAGGCTTGACTACTGGGGC
370 380 390 400 410 420

Q G T T V T V S S A S T K G P S V F P L
CAAGGCACCAAGGTCAACGCTCTCTCAAGCCTCCACCAAGGGGCCATGGCTCTCCCCCTG
430 440 450 460 470 480

A P S S K S T S G G T A A L G C L V K D
GCACCCCTCTCAAGAGCACTCTGGGGCACAGGGACCTGGCTGCTGGTCAAGGAC
490 500 510 520 530 540

09726219-142800

Fig.10 (Cont 1).

Y F P E P V T V S W N S G A L T S G V H
TACCTCCCCGAAACGGTGAGGGTGCGGAACTCAGGGGCGCTGACCAACCGGCGCAC
550 560 570 580 590 600

T F P A V L Q S S G L Y S L S S V V T V
ACCTTCCCCGGCTGTCTACAGTCTCAGGACTCTACTCCCTCAGCAGCGTGGTGACCGTG
610 620 630 640 650 660

P S S S L G T Q T Y I C N V N H K P S N
CCCTCAGCAGCTGGGCAACCAAGACCTACATCTGCAACGTGAATACAAGCCAGCAAC
670 680 690 700 710 720

T K V D K K V E P K S S * *
ACCAAGGTGACAAGAAAGTGGGGAAATCTCTATAATAACCCGGAGCTTGCAATGCA
730 740 750 760 770 780

M K Y L L P T A A A G L
AATTCTATTCAAGGAGACAGTCATAATGAAATACCTATTGCTACGGCAGCGCTGGAT
790 800 810 820 830 840

L L L A A Q P A M A D I E L T Q S P A S
TGTTATTACTGCTGCCAACCAACAGCGATGGCGACATGAGCTAACCGAGTCCTAGCCT
850 860 870 880 890 900

L S A S V G E T V T I T C R A S G N I H
CCCTCTGAGCTGIGGGAGAAACTGTCACCATCACATGCGAGCAAGTGGAAATATTC
910 920 930 940 950 960

N Y L A W Y Q Q K Q G K S P Q L L V Y Y
ACAATTATTAGCATGGTATCAGCAGAACAGGGAAAATCTCTCAGCTCTGGCTATT
970 980 990 1000 1010 1020

Fig.10 (Cont 2).

T T T L A D G V P S R F S G S G S G T Q
ATACAACAACCTTAGCAGATGGTGCATCAAGTTCAAGTGGAGTCAGGAACAC
1030 1040 1050 1060 1070 1080

Y S L K I N S L Q P E D F G S Y Y C Q H
AATATTCCTCAAGATCAACAGCTGCAAGCTGAAGATTTGGAGTTATTACTGCAAC
1090 1100 1110 1120 1130 1140

F W S T P R T F G G G T K L E I K R T V
ATTTTGGAGTACTCTCGGACGTTGGTGGAGGACCAAGCTGAGATCAAACGGACTG
1150 1160 1170 1180 1190 1200

A A P S V F I F P P S D E Q L K S G T A
TGGCTGCACCATCTGCTTCATCTCCGCCATCTGATGAGCAGTTGAAATCTGGAACCTG
1210 1220 1230 1240 1250 1260

S V V C L L N N F Y P R E A K V Q W K V
CCTCTGTTGCTGCTGCTGAAATACTTCTATCCAGAGAGGCCAAAGTACAGTGGAGG
1270 1280 1290 1300 1310 1320

D N A L Q S G N S Q E S V T E Q D S K D
TGGATAAOGCOCTCCAAATGGGTAACCTCCAGGAGAGTGTACAGAGCAGGACAGCAAGG
1330 1340 1350 1360 1370 1380

S T Y S L S S T L T L S K A D Y E K H K
ACAGCAACCTACAGCTCAGCAGCACCCCTGACGCTGAGCAAAGCAGACTACGAGAAACACA
1390 1400 1410 1420 1430 1440

V Y A C E V T H Q G L S S P V T K S F N
AAGTCTACGCTGCGAAGTCACCCATCAGGACTGAGCTGCGCGTACAAAGAGCTTCA
1450 1460 1470 1480 1490 1500

R G E S * *
ACCGGGAGAGTCATAGTAAGAATT
1510 1520

Fig.10 (Cont 3).

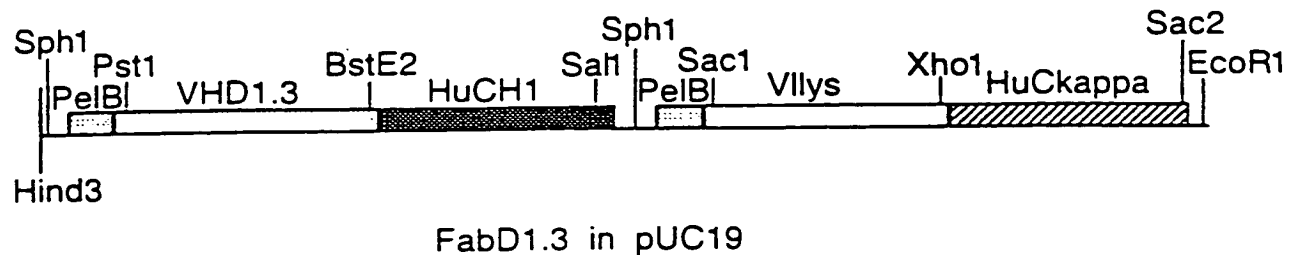
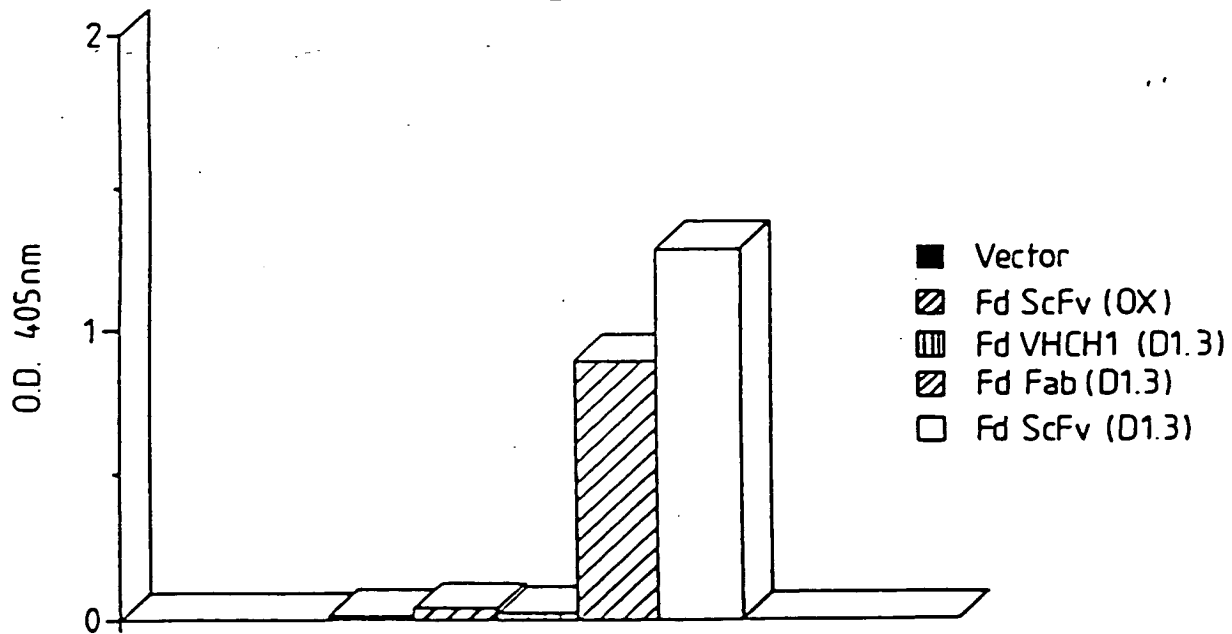


Fig.11.



00026216 - 112800

Fig.12a.

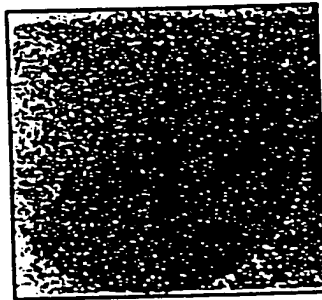


Fig.12b.

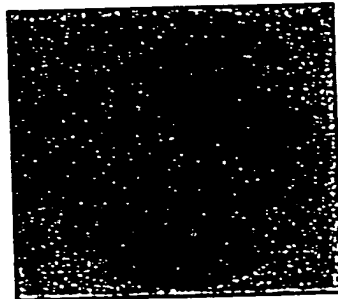


Fig. 13.

Q V Q L Q E S G G G L V Q P G G
 CAG GTG CAG CTG CAG GAG TCA GGA GGA GGC TTG GTA CAG CCT GGG GGT
 PstI
 S L R L S C A T S G F T F S N Y
 TCT CTG AGA CTC TCC TGT GCA ACT TCT GGG TTC ACC TTC AGT AAT TAC
 Y M G W V R Q P P G K A L E W L
 TAC ATG GGC TGG GTC CGC CAG CCT CCA GGA AAG GCA CTT GAG TGG TTG
 G S V R N K V N G Y T T E Y S A
 GGT TCT GTT AGA AAC AAA GTT AAT GGT TAC ACA ACA GAG TAC AGT GCA
 S V K G R F T I S R D N F Q S I
 TCT GTG AAG GGG CGG TTC ACC ATC TCC AGA GAT AAT TTC CAA AGC ATC
 L Y L Q I N T L R T E D S A T Y
 CTC TAT CTT CAA ATA AAC ACC CTG AGA ACT GAG GAC AGT GCC ACT TAT
 Y C A R G Y D Y G A W F A Y W G
 TAC TGT GCA AGA GGC TAT GAT TAC GGG GCC TGG TTT GCT TAC TGG GGC
 Q G T L V T V S S g g g g g s g g g g g s
 CAA GGG ACC CTG GTC ACC gtc tcc tca gg₁gg₂gg₃gg₄gg₅gg₆gg₇gg₈gg₉gg₁₀gg₁₁gg₁₂gg₁₃gg₁₄gg₁₅gg₁₆gg₁₇gg₁₈gg₁₉gg₂₀gg₂₁gg₂₂gg₂₃gg₂₄gg₂₅gg₂₆gg₂₇gg₂₈gg₂₉gg₃₀gg₃₁gg₃₂gg₃₃gg₃₄gg₃₅gg₃₆gg₃₇gg₃₈gg₃₉gg₄₀gg₄₁gg₄₂gg₄₃gg₄₄gg₄₅gg₄₆gg₄₇gg₄₈gg₄₉gg₅₀gg₅₁gg₅₂gg₅₃gg₅₄gg₅₅gg₅₆gg₅₇gg₅₈gg₅₉gg₆₀gg₆₁gg₆₂gg₆₃gg₆₄gg₆₅gg₆₆gg₆₇gg₆₈gg₆₉gg₇₀gg₇₁gg₇₂gg₇₃gg₇₄gg₇₅gg₇₆gg₇₇gg₇₈gg₇₉gg₈₀gg₈₁gg₈₂gg₈₃gg₈₄gg₈₅gg₈₆gg₈₇gg₈₈gg₈₉gg₉₀gg₉₁gg₉₂gg₉₃gg₉₄gg₉₅gg₉₆gg₉₇gg₉₈gg₉₉gg₁₀₀gg₁₀₁gg₁₀₂gg₁₀₃gg₁₀₄gg₁₀₅gg₁₀₆gg₁₀₇gg₁₀₈gg₁₀₉gg₁₁₀gg₁₁₁gg₁₁₂gg₁₁₃gg₁₁₄gg₁₁₅gg₁₁₆gg₁₁₇gg₁₁₈gg₁₁₉gg₁₂₀gg₁₂₁gg₁₂₂gg₁₂₃gg₁₂₄gg₁₂₅gg₁₂₆gg₁₂₇gg₁₂₈gg₁₂₉gg₁₃₀gg₁₃₁gg₁₃₂gg₁₃₃gg₁₃₄gg₁₃₅gg₁₃₆gg₁₃₇gg₁₃₈gg₁₃₉gg₁₄₀gg₁₄₁gg₁₄₂gg₁₄₃gg₁₄₄gg₁₄₅gg₁₄₆gg₁₄₇gg₁₄₈gg₁₄₉gg₁₅₀gg₁₅₁gg₁₅₂gg₁₅₃gg₁₅₄gg₁₅₅gg₁₅₆gg₁₅₇gg₁₅₈gg₁₅₉gg₁₆₀gg₁₆₁gg₁₆₂gg₁₆₃gg₁₆₄gg₁₆₅gg₁₆₆gg₁₆₇gg₁₆₈gg₁₆₉gg₁₇₀gg₁₇₁gg₁₇₂gg₁₇₃gg₁₇₄gg₁₇₅gg₁₇₆gg₁₇₇gg₁₇₈gg₁₇₉gg₁₈₀gg₁₈₁gg₁₈₂gg₁₈₃gg₁₈₄gg₁₈₅gg₁₈₆gg₁₈₇gg₁₈₈gg₁₈₉gg₁₉₀gg₁₉₁gg₁₉₂gg₁₉₃gg₁₉₄gg₁₉₅gg₁₉₆gg₁₉₇gg₁₉₈gg₁₉₉gg₂₀₀gg₂₀₁gg₂₀₂gg₂₀₃gg₂₀₄gg₂₀₅gg₂₀₆gg₂₀₇gg₂₀₈gg₂₀₉gg₂₁₀gg₂₁₁gg₂₁₂gg₂₁₃gg₂₁₄gg₂₁₅gg₂₁₆gg₂₁₇gg₂₁₈gg₂₁₉gg₂₂₀gg₂₂₁gg₂₂₂gg₂₂₃gg₂₂₄gg₂₂₅gg₂₂₆gg₂₂₇gg₂₂₈gg₂₂₉gg₂₃₀gg₂₃₁gg₂₃₂gg₂₃₃gg₂₃₄gg₂₃₅gg₂₃₆gg₂₃₇gg₂₃₈gg₂₃₉gg₂₄₀gg₂₄₁gg₂₄₂gg₂₄₃gg₂₄₄gg₂₄₅gg₂₄₆gg₂₄₇gg₂₄₈gg₂₄₉gg₂₅₀gg₂₅₁gg₂₅₂gg₂₅₃gg₂₅₄gg₂₅₅gg₂₅₆gg₂₅₇gg₂₅₈gg₂₅₉gg₂₆₀gg₂₆₁gg₂₆₂gg₂₆₃gg₂₆₄gg₂₆₅gg₂₆₆gg₂₆₇gg₂₆₈gg₂₆₉gg₂₇₀gg₂₇₁gg₂₇₂gg₂₇₃gg₂₇₄gg₂₇₅gg₂₇₆gg₂₇₇gg₂₇₈gg₂₇₉gg₂₈₀gg₂₈₁gg₂₈₂gg₂₈₃gg₂₈₄gg₂₈₅gg₂₈₆gg₂₈₇gg₂₈₈gg₂₈₉gg₂₉₀gg₂₉₁gg₂₉₂gg₂₉₃gg₂₉₄gg₂₉₅gg₂₉₆gg₂₉₇gg₂₉₈gg₂₉₉gg₃₀₀gg₃₀₁gg₃₀₂gg₃₀₃gg₃₀₄gg₃₀₅gg₃₀₆gg₃₀₇gg₃₀₈gg₃₀₉gg₃₁₀gg₃₁₁gg₃₁₂gg₃₁₃gg₃₁₄gg₃₁₅gg₃₁₆gg₃₁₇gg₃₁₈gg₃₁₉gg₃₂₀gg₃₂₁gg₃₂₂gg₃₂₃gg₃₂₄gg₃₂₅gg₃₂₆gg₃₂₇gg₃₂₈gg₃₂₉gg₃₃₀gg₃₃₁gg₃₃₂gg₃₃₃gg₃₃₄gg₃₃₅gg₃₃₆gg₃₃₇gg₃₃₈gg₃₃₉gg₃₄₀gg₃₄₁gg₃₄₂gg₃₄₃gg₃₄₄gg₃₄₅gg₃₄₆gg₃₄₇gg₃₄₈gg₃₄₉gg₃₅₀gg₃₅₁gg₃₅₂gg₃₅₃gg₃₅₄gg₃₅₅gg₃₅₆gg₃₅₇gg₃₅₈gg₃₅₉gg₃₆₀gg₃₆₁gg₃₆₂gg₃₆₃gg₃₆₄gg₃₆₅gg₃₆₆gg₃₆₇gg₃₆₈gg₃₆₉gg₃₇₀gg₃₇₁gg₃₇₂gg₃₇₃gg₃₇₄gg₃₇₅gg₃₇₆gg₃₇₇gg₃₇₈gg₃₇₉gg₃₈₀gg₃₈₁gg₃₈₂gg₃₈₃gg₃₈₄gg₃₈₅gg₃₈₆gg₃₈₇gg₃₈₈gg₃₈₉gg₃₉₀gg₃₉₁gg₃₉₂gg₃₉₃gg₃₉₄gg₃₉₅gg₃₉₆gg₃₉₇gg₃₉₈gg₃₉₉gg₄₀₀gg₄₀₁gg₄₀₂gg₄₀₃gg₄₀₄gg₄₀₅gg₄₀₆gg₄₀₇gg₄₀₈gg₄₀₉gg₄₁₀gg₄₁₁gg₄₁₂gg₄₁₃gg₄₁₄gg₄₁₅gg₄₁₆gg₄₁₇gg₄₁₈gg₄₁₉gg₄₂₀gg₄₂₁gg₄₂₂gg₄₂₃gg₄₂₄gg₄₂₅gg₄₂₆gg₄₂₇gg₄₂₈gg₄₂₉gg₄₃₀gg₄₃₁gg₄₃₂gg₄₃₃gg₄₃₄gg₄₃₅gg₄₃₆gg₄₃₇gg₄₃₈gg₄₃₉gg₄₄₀gg₄₄₁gg₄₄₂gg₄₄₃gg₄₄₄gg₄₄₅gg₄₄₆gg₄₄₇gg₄₄₈gg₄₄₉gg₄₅₀gg₄₅₁gg₄₅₂gg₄₅₃gg₄₅₄gg₄₅₅gg₄₅₆gg₄₅₇gg₄₅₈gg₄₅₉gg₄₆₀gg₄₆₁gg₄₆₂gg₄₆₃gg₄₆₄gg₄₆₅gg₄₆₆gg₄₆₇gg₄₆₈gg₄₆₉gg₄₇₀gg₄₇₁gg₄₇₂gg₄₇₃gg₄₇₄gg₄₇₅gg₄₇₆gg₄₇₇gg₄₇₈gg₄₇₉gg₄₈₀gg₄₈₁gg₄₈₂gg₄₈₃gg₄₈₄gg₄₈₅gg₄₈₆gg₄₈₇gg₄₈₈gg₄₈₉gg₄₉₀gg₄₉₁gg₄₉₂gg₄₉₃gg₄₉₄gg₄₉₅gg₄₉₆gg₄₉₇gg₄₉₈gg₄₉₉gg₅₀₀gg₅₀₁gg₅₀₂gg₅₀₃gg₅₀₄gg₅₀₅gg₅₀₆gg₅₀₇gg₅₀₈gg₅₀₉gg₅₁₀gg₅₁₁gg₅₁₂gg₅₁₃gg₅₁₄gg₅₁₅gg₅₁₆gg₅₁₇gg₅₁₈gg₅₁₉gg₅₂₀gg₅₂₁gg₅₂₂gg₅₂₃gg₅₂₄gg₅₂₅gg₅₂₆gg₅₂₇gg₅₂₈gg₅₂₉gg₅₃₀gg₅₃₁gg₅₃₂gg₅₃₃gg₅₃₄gg₅₃₅gg₅₃₆gg₅₃₇gg₅₃₈gg₅₃₉gg₅₄₀gg₅₄₁gg₅₄₂gg₅₄₃gg₅₄₄gg₅₄₅gg₅₄₆gg₅₄₇gg₅₄₈gg₅₄₉gg₅₅₀gg₅₅₁gg₅₅₂gg₅₅₃gg₅₅₄gg₅₅₅gg₅₅₆gg₅₅₇gg₅₅₈gg₅₅₉gg₅₆₀gg₅₆₁gg₅₆₂gg₅₆₃gg₅₆₄gg₅₆₅gg₅₆₆gg₅₆₇gg₅₆₈gg₅₆₉gg₅₇₀gg₅₇₁gg₅₇₂gg₅₇₃gg₅₇₄gg₅₇₅gg₅₇₆gg₅₇₇gg₅₇₈gg₅₇₉gg₅₈₀gg₅₈₁gg₅₈₂gg₅₈₃gg₅₈₄gg₅₈₅gg₅₈₆gg₅₈₇gg₅₈₈gg₅₈₉gg₅₉₀gg₅₉₁gg₅₉₂gg₅₉₃gg₅₉₄gg₅₉₅gg₅₉₆gg₅₉₇gg₅₉₈gg₅₉₉gg₆₀₀gg₆₀₁gg₆₀₂gg₆₀₃gg₆₀₄gg₆₀₅gg₆₀₆gg₆₀₇gg₆₀₈gg₆₀₉gg₆₁₀gg₆₁₁gg₆₁₂gg₆₁₃gg₆₁₄gg₆₁₅gg₆₁₆gg₆₁₇gg₆₁₈gg₆₁₉gg₆₂₀gg₆₂₁gg₆₂₂gg₆₂₃gg₆₂₄gg₆₂₅gg₆₂₆gg₆₂₇gg₆₂₈gg₆₂₉gg₆₃₀gg₆₃₁gg₆₃₂gg₆₃₃gg₆₃₄gg₆₃₅gg₆₃₆gg₆₃₇gg₆₃₈gg₆₃₉gg₆₄₀gg₆₄₁gg₆₄₂gg₆₄₃gg₆₄₄gg₆₄₅gg₆₄₆gg₆₄₇gg₆₄₈gg₆₄₉gg₆₅₀gg₆₅₁gg₆₅₂gg₆₅₃gg₆₅₄gg₆₅₅gg₆₅₆gg₆₅₇gg₆₅₈gg₆₅₉gg₆₆₀gg₆₆₁gg₆₆₂gg₆₆₃gg₆₆₄gg₆₆₅gg₆₆₆gg₆₆₇gg₆₆₈gg₆₆₉gg₆₇₀gg₆₇₁gg₆₇₂gg₆₇₃gg₆₇₄gg₆₇₅gg₆₇₆gg₆₇₇gg₆₇₈gg₆₇₉gg₆₈₀gg₆₈₁gg₆₈₂gg₆₈₃gg₆₈₄gg₆₈₅gg₆₈₆gg₆₈₇gg₆₈₈gg₆₈₉gg₆₉₀gg₆₉₁gg₆₉₂gg₆₉₃gg₆₉₄gg₆₉₅gg₆₉₆gg₆₉₇gg₆₉₈gg₆₉₉gg₇₀₀gg₇₀₁gg₇₀₂gg₇₀₃gg₇₀₄gg₇₀₅gg₇₀₆gg₇₀₇gg₇₀₈gg₇₀₉gg₇₁₀gg₇₁₁gg₇₁₂gg₇₁₃gg₇₁₄gg₇₁₅gg₇₁₆gg₇₁₇gg₇₁₈gg₇₁₉gg₇₂₀gg₇₂₁gg₇₂₂gg₇₂₃gg₇₂₄gg₇₂₅gg₇₂₆gg₇₂₇gg₇₂₈gg₇₂₉gg₇₃₀gg₇₃₁gg₇₃₂gg₇₃₃gg₇₃₄gg₇₃₅gg₇₃₆gg₇₃₇gg₇₃₈gg₇₃₉gg₇₄₀gg₇₄₁gg₇₄₂gg₇₄₃gg₇₄₄gg₇₄₅gg₇₄₆gg₇₄₇gg₇₄₈gg₇₄₉gg₇₅₀gg₇₅₁gg₇₅₂gg₇₅₃gg₇₅₄gg₇₅₅gg₇₅₆gg₇₅₇gg₇₅₈gg₇₅₉gg₇₆₀gg₇₆₁gg₇₆₂gg₇₆₃gg₇₆₄gg₇₆₅gg₇₆₆gg₇₆₇gg₇₆₈gg₇₆₉gg₇₇₀gg₇₇₁gg₇₇₂gg₇₇₃gg₇₇₄gg₇₇₅gg₇₇₆gg₇₇₇gg₇₇₈gg₇₇₉gg₇₈₀gg₇₈₁gg₇₈₂gg₇₈₃gg₇₈₄gg₇₈₅gg₇₈₆gg₇₈₇gg₇₈₈gg₇₈₉gg₇₉₀gg₇₉₁gg₇₉₂gg₇₉₃gg₇₉₄gg₇₉₅gg₇₉₆gg₇₉₇gg₇₉₈gg₇₉₉gg₈₀₀gg₈₀₁gg₈₀₂gg₈₀₃gg₈₀₄gg₈₀₅gg₈₀₆gg₈₀₇gg₈₀₈gg₈₀₉gg₈₁₀gg₈₁₁gg₈₁₂gg₈₁₃gg₈₁₄gg₈₁₅gg₈₁₆gg₈₁₇gg₈₁₈gg₈₁₉gg₈₂₀gg₈₂₁gg₈₂₂gg₈₂₃gg₈₂₄gg₈₂₅gg₈₂₆gg₈₂₇gg₈₂₈gg₈₂₉gg₈₃₀gg₈₃₁gg₈₃₂gg₈₃₃gg₈₃₄gg₈₃₅gg₈₃₆gg₈₃₇gg₈₃₈gg₈₃₉gg₈₄₀gg₈₄₁gg₈₄₂gg₈₄₃gg₈₄₄gg₈₄₅gg₈₄₆gg₈₄₇gg₈₄₈gg₈₄₉gg₈₅₀gg₈₅₁gg₈₅₂gg₈₅₃gg₈₅₄gg₈₅₅gg₈₅₆gg₈₅₇gg₈₅₈gg₈₅₉gg₈₆₀gg₈₆₁gg₈₆₂gg₈₆₃gg₈₆₄gg₈₆₅gg₈₆₆gg₈₆₇gg₈₆₈gg₈₆₉gg₈₇₀gg₈₇₁gg₈₇₂gg₈₇₃gg₈₇₄gg₈₇₅gg₈₇₆gg₈₇₇gg₈₇₈gg₈₇₉gg₈₈₀gg₈₈₁gg₈₈₂gg₈₈₃gg₈₈₄gg₈₈₅gg₈₈₆gg₈₈₇gg₈₈₈gg₈₈₉gg₈₉₀gg₈₉₁gg₈₉₂gg₈₉₃gg₈₉₄gg₈₉₅gg₈₉₆gg₈₉₇gg₈₉₈gg₈₉₉gg₉₀₀gg₉₀₁gg₉₀₂gg₉₀₃gg₉₀₄gg₉₀₅gg₉₀₆gg₉₀₇gg₉₀₈gg₉₀₉gg₉₁₀gg₉₁₁gg₉₁₂gg₉₁₃gg₉₁₄gg₉₁₅gg₉₁₆gg₉₁₇gg₉₁₈gg₉₁₉gg₉₂₀gg₉₂₁gg₉₂₂gg₉₂₃gg₉₂₄gg₉₂₅gg₉₂₆gg₉₂₇gg₉₂₈gg₉₂₉gg₉₃₀gg₉₃₁gg₉₃₂gg₉₃₃gg₉₃₄gg₉₃₅gg₉₃₆gg₉₃₇gg₉₃₈gg₉₃₉gg₉₄₀gg₉₄₁gg₉₄₂gg₉₄₃gg₉₄₄gg₉₄₅gg₉₄₆gg₉₄₇gg₉₄₈gg₉₄₉gg₉₅₀gg₉₅₁gg₉₅₂gg₉₅₃gg₉₅₄gg₉₅₅gg₉₅₆gg₉₅₇gg₉₅₈gg₉₅₉gg₉₆₀gg₉₆₁gg₉₆₂gg₉₆₃gg₉₆₄gg₉₆₅gg₉₆₆gg₉₆₇gg₉₆₈gg₉₆₉gg₉₇₀gg₉₇₁gg₉₇₂gg₉₇₃gg₉₇₄gg₉₇₅gg₉₇₆gg₉₇₇gg₉₇₈gg₉₇₉gg₉₈₀gg₉₈₁gg₉₈₂gg₉₈₃gg₉₈₄gg₉₈₅gg₉₈₆gg₉₈₇gg₉₈₈gg₉₈₉gg₉₉₀gg₉₉₁gg₉₉₂gg₉₉₃gg₉₉₄gg₉₉₅gg₉₉₆gg₉₉₇gg₉₉₈gg₉₉₉gg₁₀₀₀gg₁₀₀₁gg₁₀₀₂gg₁₀₀₃gg₁₀₀₄gg₁₀₀₅gg₁₀₀₆gg₁₀₀₇gg₁₀₀₈gg₁₀₀₉gg₁₀₁₀gg₁₀₁₁gg₁₀₁₂gg₁₀₁₃gg₁₀₁₄gg₁₀₁₅gg₁₀₁₆gg₁₀₁₇gg₁₀₁₈gg₁₀₁₉gg₁₀₂₀gg₁₀₂₁gg₁₀₂₂gg₁₀₂₃gg₁₀₂₄gg₁₀₂₅gg₁₀₂₆gg₁₀₂₇gg₁₀₂₈gg₁₀₂₉gg₁₀₃₀gg₁₀₃₁gg₁₀₃₂gg₁₀₃₃gg₁₀₃₄gg₁₀₃₅gg₁₀₃₆gg₁₀₃₇gg₁₀₃₈gg₁₀₃₉gg₁₀₄₀gg₁₀₄₁gg₁₀₄₂gg₁₀₄₃gg₁₀₄₄gg₁₀₄₅gg₁₀₄₆gg₁₀₄₇gg₁₀₄₈gg₁₀₄₉gg₁₀₅₀gg₁₀₅₁gg₁₀₅₂gg₁₀₅₃gg₁₀₅₄gg₁₀₅₅gg₁₀₅₆gg₁₀₅₇gg₁₀₅₈gg₁₀₅₉gg₁₀₆₀gg₁₀₆₁gg₁₀₆₂gg₁₀₆₃gg₁₀₆₄gg₁₀₆₅gg₁₀₆₆gg₁₀₆₇gg₁₀₆₈gg₁₀₆₉gg₁₀₇₀gg₁₀₇₁gg₁₀₇₂gg₁₀₇₃gg₁₀₇₄gg₁₀₇₅gg₁₀₇₆gg₁₀₇₇gg₁₀₇₈gg₁₀₇₉gg₁₀₈₀gg₁₀₈₁gg₁₀₈₂gg₁₀₈₃gg₁₀₈₄gg₁₀₈₅gg₁₀₈₆gg₁₀₈₇gg₁₀₈₈gg₁₀₈₉gg₁₀₉₀gg₁₀₉₁gg₁₀₉₂gg₁₀₉₃gg₁₀₉₄gg₁₀₉₅gg₁₀₉₆gg₁₀₉₇gg₁₀₉₈gg₁₀₉₉gg₁₁₀₀gg₁₁₀₁gg₁₁₀₂gg₁₁₀₃gg₁₁₀₄gg₁₁₀₅gg₁₁₀₆gg₁₁₀₇gg₁₁₀₈gg₁₁₀₉gg₁₁₁₀gg₁₁₁₁gg₁₁₁₂gg₁₁₁₃gg₁₁₁₄gg₁₁₁₅gg₁₁₁₆gg₁₁₁₇gg₁₁₁₈gg₁₁₁₉gg₁₁₂₀gg₁₁₂₁gg₁₁₂₂gg₁₁₂₃gg₁₁₂₄gg₁₁₂₅gg₁₁₂₆gg₁₁₂₇gg₁₁₂₈gg₁₁₂₉gg₁₁₃₀gg₁₁₃₁gg₁₁₃₂gg₁₁₃₃gg₁₁₃₄gg₁₁₃₅gg₁₁₃₆gg₁₁₃₇gg₁₁₃₈gg₁₁₃₉gg₁₁₄₀gg₁₁₄₁gg₁₁₄₂gg₁₁₄₃gg₁₁₄₄gg₁₁₄₅gg₁₁₄₆gg₁₁₄₇gg₁₁₄₈gg₁₁₄₉gg₁₁₅₀gg₁₁₅₁gg₁₁₅₂gg₁₁₅₃gg₁₁₅₄gg₁₁₅₅gg₁₁₅₆gg₁₁₅₇gg₁₁₅₈gg₁₁₅₉gg₁₁₆₀gg₁₁₆₁gg₁₁₆₂gg₁₁₆₃gg₁₁₆₄gg₁₁₆₅gg₁₁₆₆gg₁₁₆₇gg₁₁₆₈gg₁₁₆₉gg₁₁₇₀gg₁₁₇₁gg₁₁₇₂gg₁₁₇₃gg₁₁₇₄gg₁₁₇₅gg₁₁₇₆gg₁₁₇₇gg₁₁₇₈gg₁₁₇₉gg₁₁₈₀gg₁₁₈₁gg₁₁₈₂gg₁₁₈₃gg₁₁₈₄gg₁₁₈₅gg₁₁₈₆gg

Fig.14.

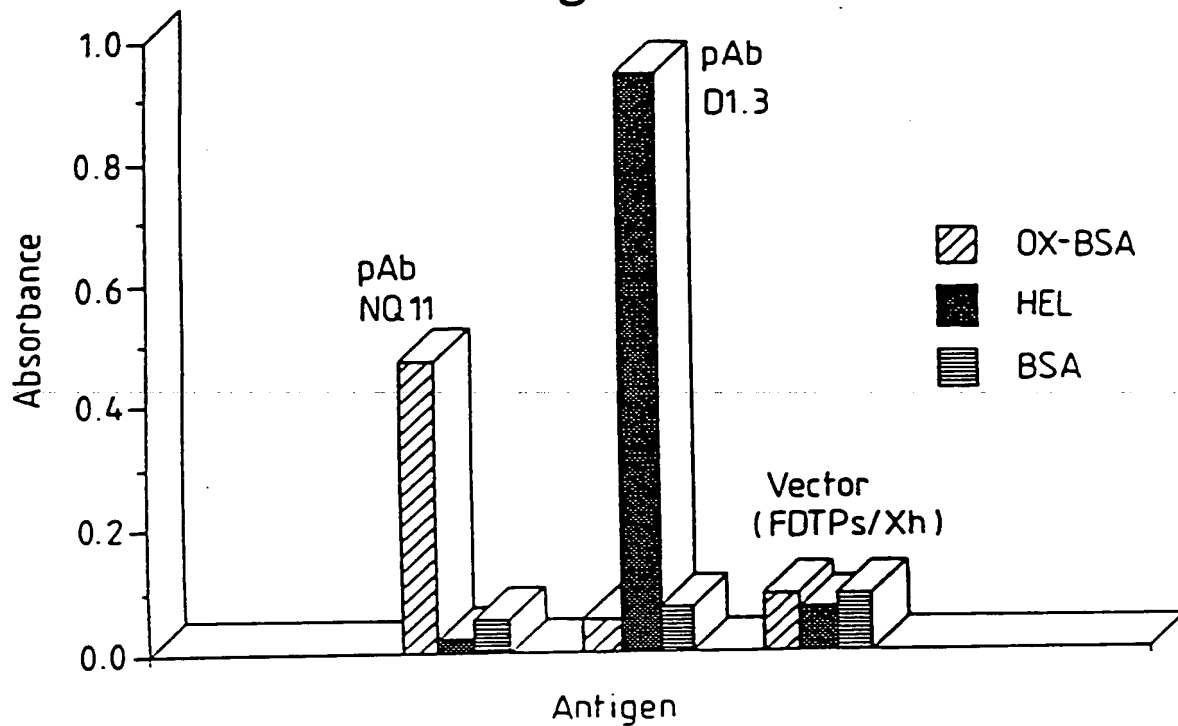


Fig.15.

5' END
 TCT CAC AGT GCA CAA ACT GTT GAA CGG ACA CCA GAA ATG CCT GTT CTG
 ApaL1

3' END
 AAA GCC GCT CTG GGG CTG AAA GCG GCC GCA GAA ACT GTT GAA AGT etc.
 Not I

Fig.16 (i).

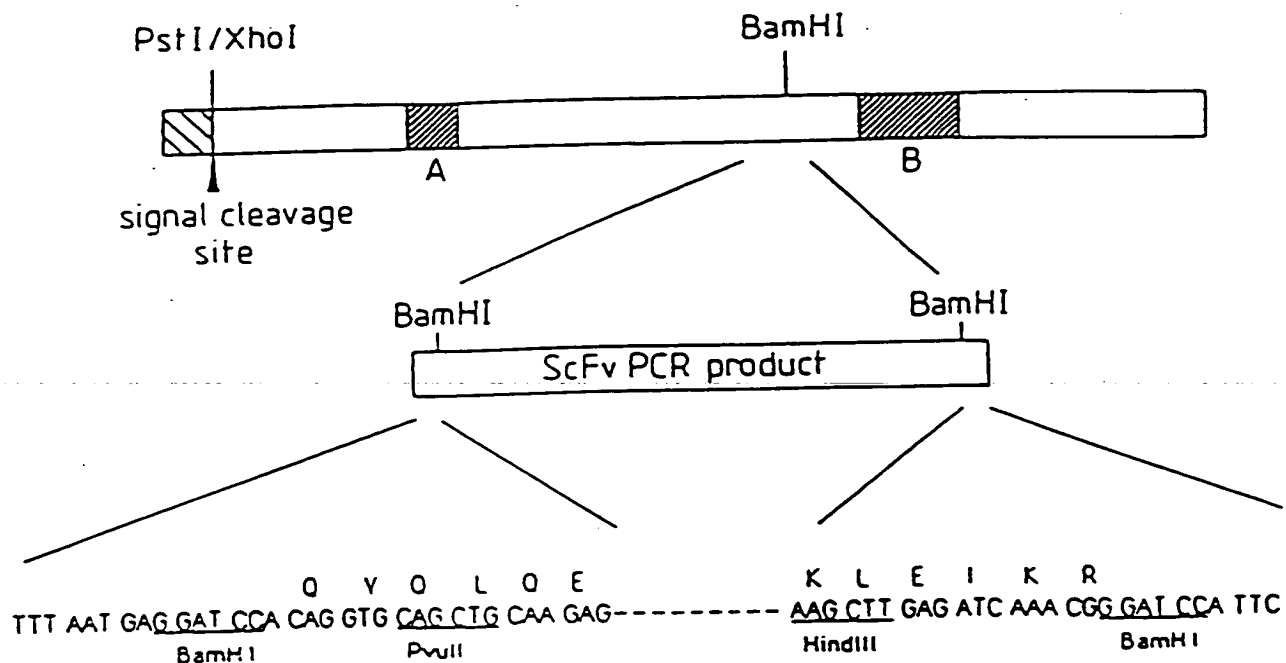


Fig.16 (ii).

A (1834) 5' GAG GGT GGT GGC TCT
 - - - C - -
 - - - C - -
 - - - C - ACT 3' (1839)

B (2284) 5' - GGC GGC GGC TCT
 - GGT GGT GGT -
 - - GGC GGC -
 GAG - - GGC -
 " - - GGT -
 - - - GGC -
 - - - GGT -
 - - - GGC - 3' (2379)

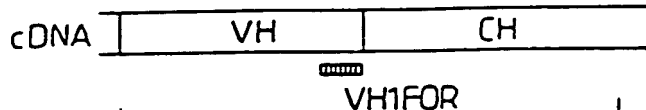
Reverse complement of mutagenic
 oligo G3Bamlink

5' GAG GGT GGC GGA TCC
 T
 GAG GGT GGC GG 3'

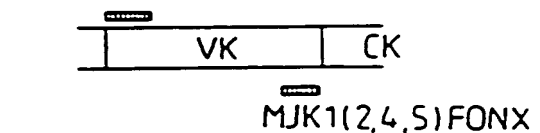
Fig.17.

1) PRIMARY PCR

VH1BACK



VK2BACK



heavy

kappa

2) ASSEMBLY PCR

VH1BACK

MJK1(2,4,5)FONX

linker = (gly · gly · gly · gly · ser) β 3

3) ADDING RESTRICTION SITES

VHBKAPA10

JK1(2,4,5)NOT10

Apa L 1

Not 1

Fig.18.

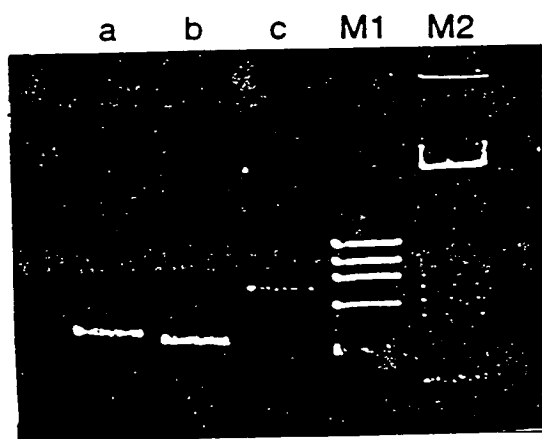


Fig.19.

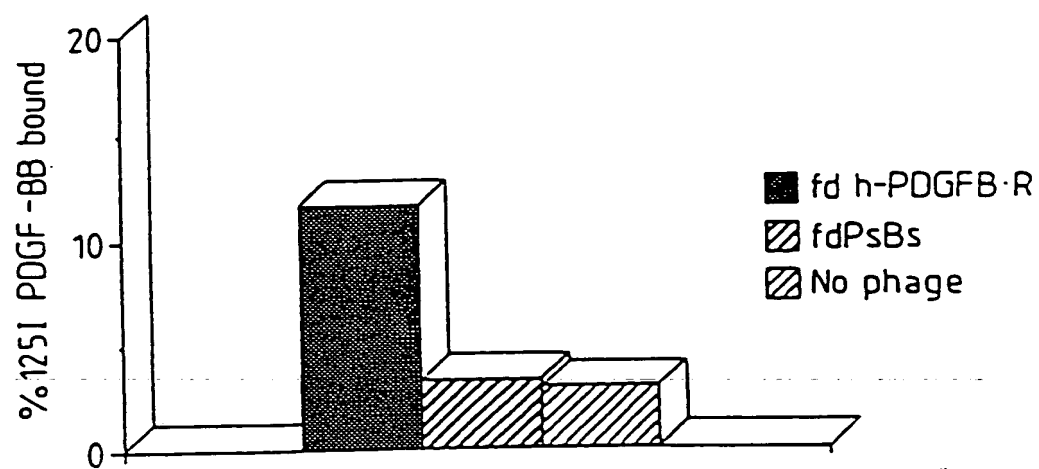


Fig.20.

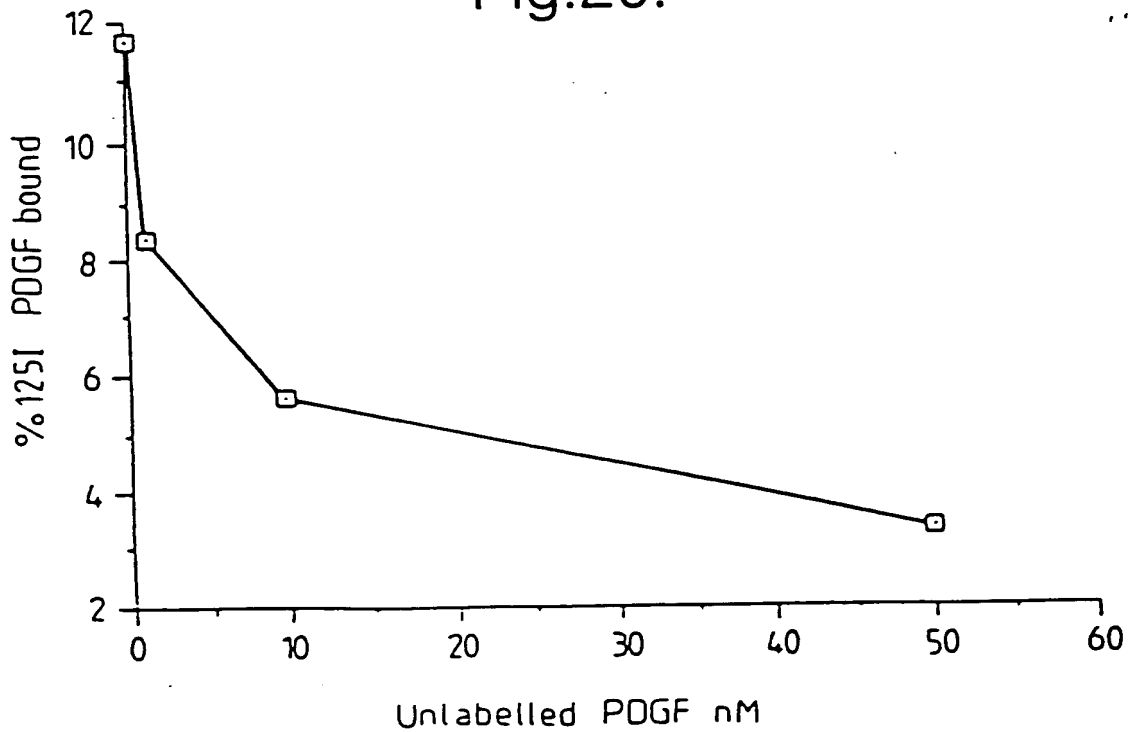


Fig.21.

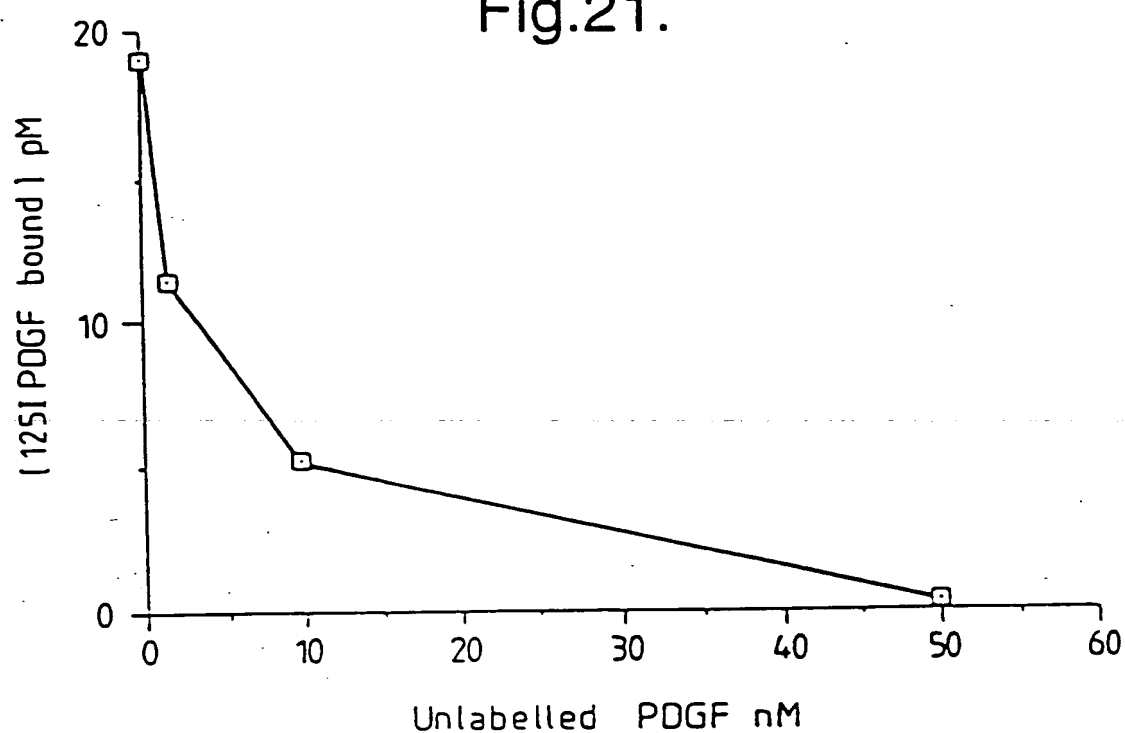


Fig.22.

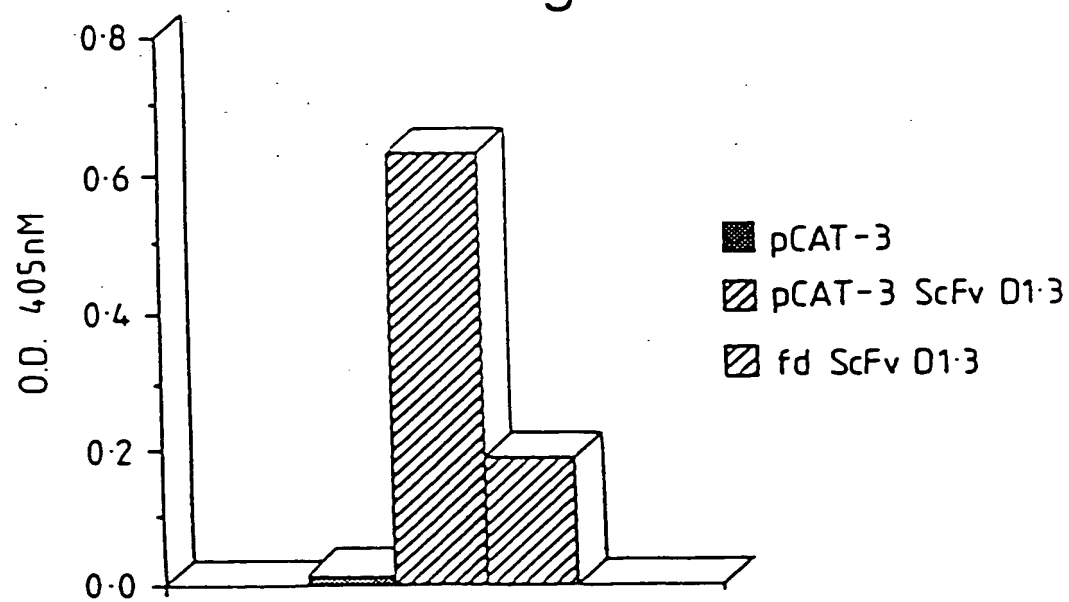


Fig.23(i)

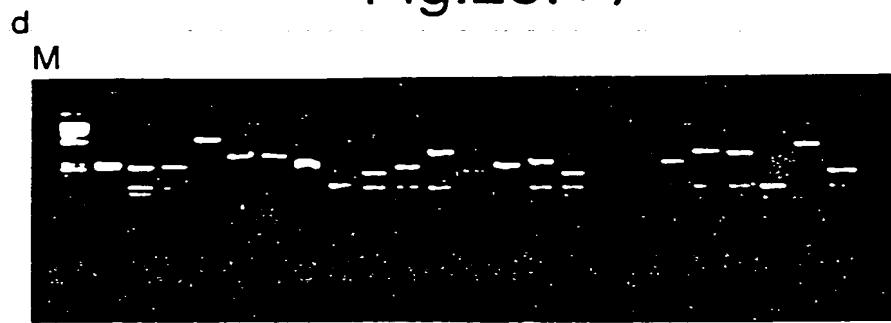
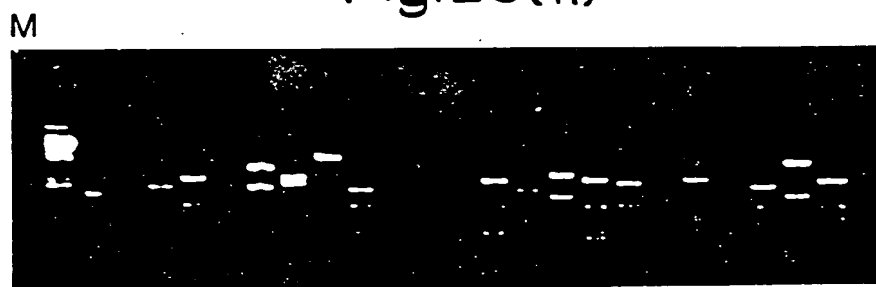


Fig.23(ii)



VH sequences

Fig.24.

from combinatorial library		CD41		CD112		CD45	
A	QVQLQSQSAPELAKPACSVTHSKCASCTTT	STTRH	WVKQRPGCGLEMIG	YINPSEGTYYNQKFKD	KATLTADKSSTAYHQQLSLSLTSEDSAVTCAR	RYGAY	MGQGTTTVTSS X4
B	QVQLQSQSAPELAKPACSVTHSKCASCTTT	RDNPH	WLKQRPGCGLEMIG	YINPSTQTYTEYIQQFKD	KATLTADKSSTAYHQQLSLSLTSEDSAVTCAR	NYGLY	MGQGTTTVTSS X9
C	QVQLQSQSPELAKPACSVTHSKCASCTTT	STTRH	WVKQRPGCGLEMIG	YINPSTQTYTEYIQQFKD	KATLTADKSSTAYHQQLSLSLTSEDSAVTCAR	YRFPY	MGQGTTTVTSS X3
D	QVQLQSQSPELAKPACSVTHSKCASCTTT	GYFPH	WVKOSHSQSKLEMIG	YINPSTQTYTEYIQQFKD	KATLTADKSSTAYHQQLSLSLTSEDSAVTCAR	ITTRFAY	MGQGTTTVTSS X3
E	QVQLQSQSPELAKPACSVTHSKCASCTTT	SYGSH	WVROPPGCGLEMIG	RINPYNQTYTENQKFKD	KATLTADKSSTAYHQQLSLSLTSEDSAVTCAR	URGTY	MGQGTTTVTSS
F	QVQLQSQSPELAKPACSVTHSKCASCTTT	STLKH	WVKQRPGCGLEMIG	YINPSTQTYTEYIQQFKD	RLSISIKNSLSQVFLKHNLSLQUTDAMTCAR	DIGYY	MGQGTTTVTSS
G	QVQLQSQSPELAKPACSVTHSKCASCTTT	R1HAI	WVKQRPGCGLEMIG	YINPSTQTYTEYIQQFKD	KATLTADKSSTAYHQQLSLSLTSEDSAVTCAR	DIGYY	MGQGTTTVTSS
H	QVQLQSQSPELAKPACSVTHSKCASCTTT	RUTRI	WVKQBHQKGELMIG	YIAPNGCCTTYNQFKG	ENTLTADKSSTAYHQQLSLSLTSEDSAVTCAR	DYGRD	MGQGTTTVTSS
from hierarchical library VH-rep x Vκ-d:		V13H		V13T		V13Y	
I	QVQLQSQSPELAKPACSVTHSKCASCTTT	RTTRH	WVKQSQSKLEMIG	VI3TNYCITYNQKFKD	KATLTADKSSTAYHQQLSLSLTSEDSAVTCAR	DIGDY	MGQGTTTVTSS
J	QVQLQSQSPELAKPACSVTHSKCASCTTT	RDNPH	WVKQRPGCGLEMIG	YINP8G5TYNQFKD	KATLTADKSSTAYHQQLSLSLTSEDSAVTCAR	DRGAY	MGQGTTTVTSS
K	QVQLQSQSPELAKPACSVTHSKCASCTTT	NTLPH	WVKQRPGCGLEMIG	YINPSTQTYTEYIQQFKD	KATLTADKSSTAYHQQLSLSLTSEDSAVTCAR	NYGLY	MGQGTTTVTSS X3
L	QVQLQSQSPELAKPACSVTHSKCASCTTT	NTMHH	WVKQRPGCGLEMIG	YINPSTQTYTEYIQQFKD	KATLTADKSSTAYHQQLSLSLTSEDSAVTCAR	DIGTY	MGQGTTTVTSS X3
M	QVQLQSQSPELAKPACSVTHSKCASCTTT	STTRH	WVKQRPGCGLEMIG	YINPSTTENQKFKD	KATLTADKSSTAYHQQLSLSLTSEDSAVTCAR	DIGYF	MGQGTTTVTSS
N	QVQLQSQSPELAKPACSVTHSKCASCTTT	SHLHH	WVKQRPGCGLEMIG	YINPSSGCTTYNQKFKD	KATLTADKSSTAYHQQLSLSLTSEDSAVTCAR	DIGYY	MGQGTTTVTSS
O	QVQLQSQSPELAKPACSVTHSKCASCTTT	SYNPH	WVKQRPGCGLEMIG	YINPRTGTTENQKFKD	KATLTADKSSTAYHQQLSLSLTSEDSAVTCAR	DYGAX	MGQGTTTVTSS
P	QVQLQSQSPELAKPACSVTHSKCASCTTT	STLHH	WVKQRPGCGLEMIG	YINPSTQTYTEYIQQFKD	KATLTADKSSTAYHQQLSLSLTSEDSAVTCAR	DIGTY	MGQGTTTVTSS
Q	QVQLQSQSPELAKPACSVTHSKCASCTTT	SYVPH	WVKQRPGCGLEMIG	YINPSTQTYTEYIQQFKD	KATLTADKSSTAYHQQLSLSLTSEDSAVTCAR	DIGYF	MGQGTTTVTSS
R	QVQLQSQSPELAKPACSVTHSKCASCTTT	TPLHH	WVKQRPGCGLEMIG	YINPSTGCTTYNQKFKD	KATLTADKSSTAYHQQLSLSLTSEDSAVTCAR	DIGYY	MGQGTTTVTSS X3
S	QVQLQSQSPELAKPACSVTHSKCASCTTT	STTRH	WVKQRPGCGLEMIG	YINPSSGCTTYNQKFKD	KATLTADKSSTAYHQQLSLSLTSEDSAVTCAR	DYCTT	MGQGTTTVTSS X6
T	QVQLQSQSPELAKPACSVTHSKCASCTTT	SYTPH	WVKQRPGCGLEMIG	YIIPPTQTYTEYIQQFKD	KATLTADKSSTAYHQQLSLSLTSEDSAVTCAR	DIGTY	MGQGTTTVTSS
U	QVQLQSQSPELAKPACSVTHSKCASCTTT	WVKQRPGCGLEMIG	YINP9GTYTEYIQQFKD	KATLTADKSSTAYHQQLSLSLTSEDSAVTCAR	NYCLY	MGQGTTTVTSS	

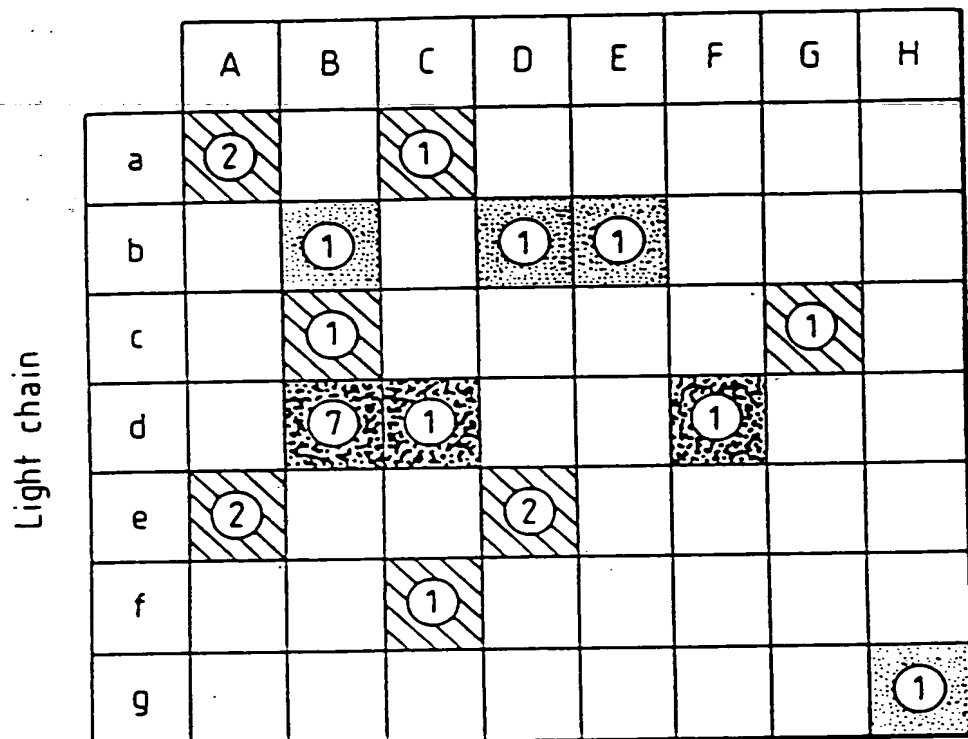
Vx sequences

Fig.24 (Cont.).

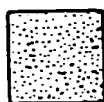
from a combinatorial library:		CDR1		CDR2		CDR3	
a	DIELTQSPSSLASLGERVSLTC	RASQELSCYLS	WLCQKPDGSIKPLIY	AASLTS	QVPKRFGSRSGDYSLTLISSEDAATTYC	LOTASVPT	FGACTKLEIKRA X3
b	DIELTQSPMSASPGEKVHTC	RASSSEVSYLH	WYQOKSGASPKNLY	BTSNLAS	QVPARFSGGCGCTSYLTISSEDAATTYC	QQYSGCPLT	FGACTKLEIKRA X3
c	DIELTQSPPTMSASPGEKVHTC	SASSSISNTLH	WTQOKPFGSPKLILY	RTSNLAS	QVPARFSGGCGCTSYLTICMHEDAATTYC	QQGSTPLT	FGACTKLEIKRA X3
d	DIELTQSPPTMSASPGEKVHTC	SASSSISNTLH	WFCQOKPFGSPKLILY	RTSNLAS	QVPARFSGGCGCTSYLTICMHEDAATTYC	QQGSTPLT	FGACTKLEIKRA X3
e	DIELTQSPMSASPGEKVHTC	SASSSISNTLH	WFCQOKPFGSPKLILY	RTSNLAS	QVTRFSGGCGCTSYLTISRMEDAATTYC	QRSISPLT	FGACTKLEIKRA X3
f	DIELTQSPMSASPGEKVHTC	SASSSISNTLH	WFCQOKPFGSPKLILY	RTSNLAS	QVPARFSGGCGCTSYLTISRMEDAATTYC	QFSISPLT	FGACTKLEIKRA X3
g	DIELTQSPMSASPGEKVHTC	SASSSISNTLH	WFCQOKPFGSPKLILY	RTSNLAS	QVPARFSGGCGCTSYLTISRMEDAATTYC	QFSISPLT	FGACTKLEIKRA X3
h	DIELTQSPMSASPGEKVHTC	SASSSISNTLH	WFCQOKPFGSPKLILY	RTSNLAS	QVPARFSGGCGCTSYLTISRMEDAATTYC	QFSISPLT	FGACTKLEIKRA X3
i	DIELTQSPMSASPGEKVHTC	SASSSISNTLH	WFCQOKPFGSPKLILY	RTSNLAS	QVPARFSGGCGCTSYLTISRMEDAATTYC	QFSISPLT	FGACTKLEIKRA X3
j	DIELTQSPPTMSASPGEKVHTC	SASSSISNTLH	WFCQOKPFGSPKLILY	RTSNLAS	QVPARFSGGCGCTSYLTISRMEDAATTYC	QFSISPLT	FGACTKLEIKRA X3
k	DIELTQSPPTMSASPGEKVHTC	SASSSISNTLH	WFCQOKPFGSPKLILY	RTSNLAS	QVPARFSGGCGCTSYLTISRMEDAATTYC	QFSISPLT	FGACTKLEIKRA X3
l	DIELTQSPPTMSASPGEKVHTC	SASSSISNTLH	WFCQOKPFGSPKLILY	RTSNLAS	QVPARFSGGCGCTSYLTISRMEDAATTYC	QFSISPLT	FGACTKLEIKRA X3
m	DIELTQSPPTMSASPGEKVHTC	SASSSISNTLH	WFCQOKPFGSPKLILY	RTSNLAS	QVPARFSGGCGCTSYLTISRMEDAATTYC	QFSISPLT	FGACTKLEIKRA X3
n	DIELTQSPPTMSASPGEKVHTC	SASSSISNTLH	WFCQOKPFGSPKLILY	RTSNLAS	QVPARFSGGCGCTSYLTISRMEDAATTYC	QFSISPLT	FGACTKLEIKRA X3
o	DIELTQSPMSASPGEKVHTC	SASSSISNTLH	WFCQOKPFGSPKLILY	RTSNLAS	QVPARFSGGCGCTSYLTISRMEDAATTYC	QFSISPLT	FGACTKLEIKRA X3
p	DIELTQSPMSASPGEKVHTC	SASSSISNTLH	WFCQOKPFGSPKLILY	RTSNLAS	QVPARFSGGCGCTSYLTISRMEDAATTYC	QFSISPLT	FGACTKLEIKRA X3
q	DIELTQSPMSASPGEKVHTC	SASSSISNTLH	WFCQOKPFGSPKLILY	RTSNLAS	QVPARFSGGCGCTSYLTISRMEDAATTYC	QFSISPLT	FGACTKLEIKRA X3
r	DIELTQSPMSASPGEKVHTC	SASSSISNTLH	WFCQOKPFGSPKLILY	RTSNLAS	QVPARFSGGCGCTSYLTISRMEDAATTYC	QFSISPLT	FGACTKLEIKRA X3
s	DIELTQSPMSASPGEKVHTC	SASSSISNTLH	WFCQOKPFGSPKLILY	RTSNLAS	QVPARFSGGCGCTSYLTISRMEDAATTYC	QFSISPLT	FGACTKLEIKRA X3
t	DIELTQSPMSASPGEKVHTC	SASSSISNTLH	WFCQOKPFGSPKLILY	RTSNLAS	QVPARFSGGCGCTSYLTISRMEDAATTYC	QFSISPLT	FGACTKLEIKRA X3
u	DIELTQSPMSASPGEKVHTC	SASSSISNTLH	WFCQOKPFGSPKLILY	RTSNLAS	QVPARFSGGCGCTSYLTISRMEDAATTYC	QFSISPLT	FGACTKLEIKRA X3
v	DIELTQSPMSASPGEKVHTC	SASSSISNTLH	WFCQOKPFGSPKLILY	RTSNLAS	QVPARFSGGCGCTSYLTISRMEDAATTYC	QFSISPLT	FGACTKLEIKRA X3
w	DIELTQSPMSASPGEKVHTC	SASSSISNTLH	WFCQOKPFGSPKLILY	RTSNLAS	QVPARFSGGCGCTSYLTISRMEDAATTYC	QFSISPLT	FGACTKLEIKRA X3

Fig.25.

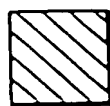
HEAVY CHAIN



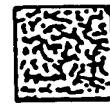
OD_{405nm} in ELISA.



0.2-0.9



0.9-2.0



>2.0

Fig.26(a).

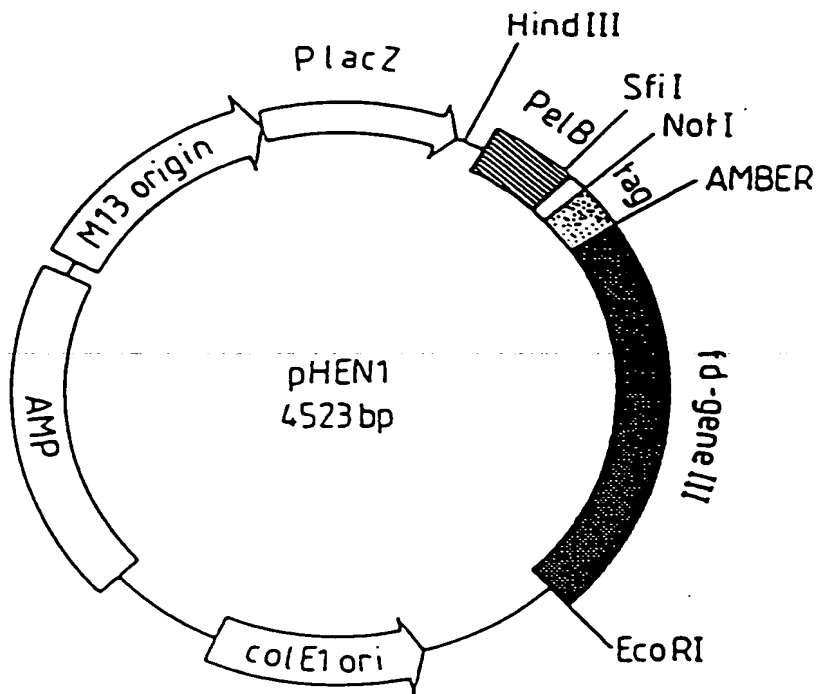


Fig.26(b).

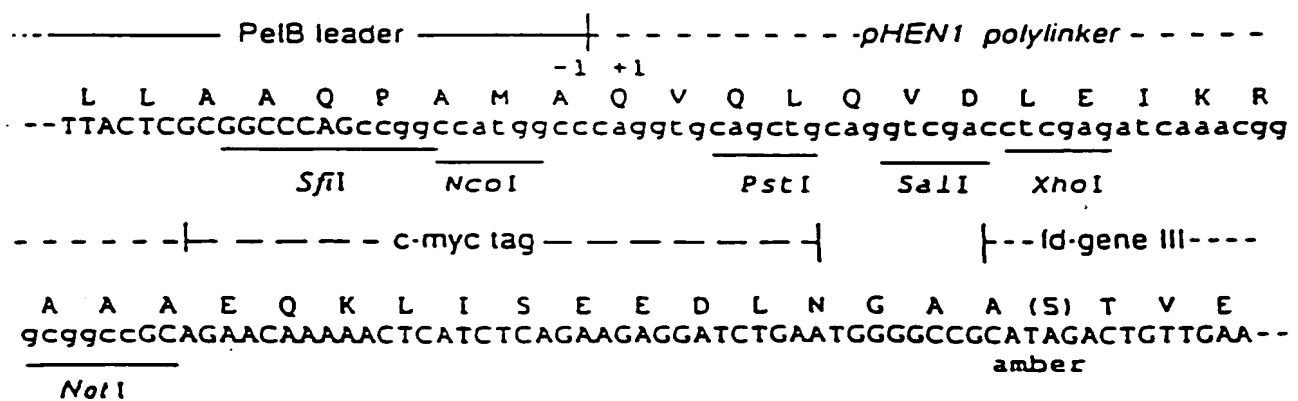


Fig.27.

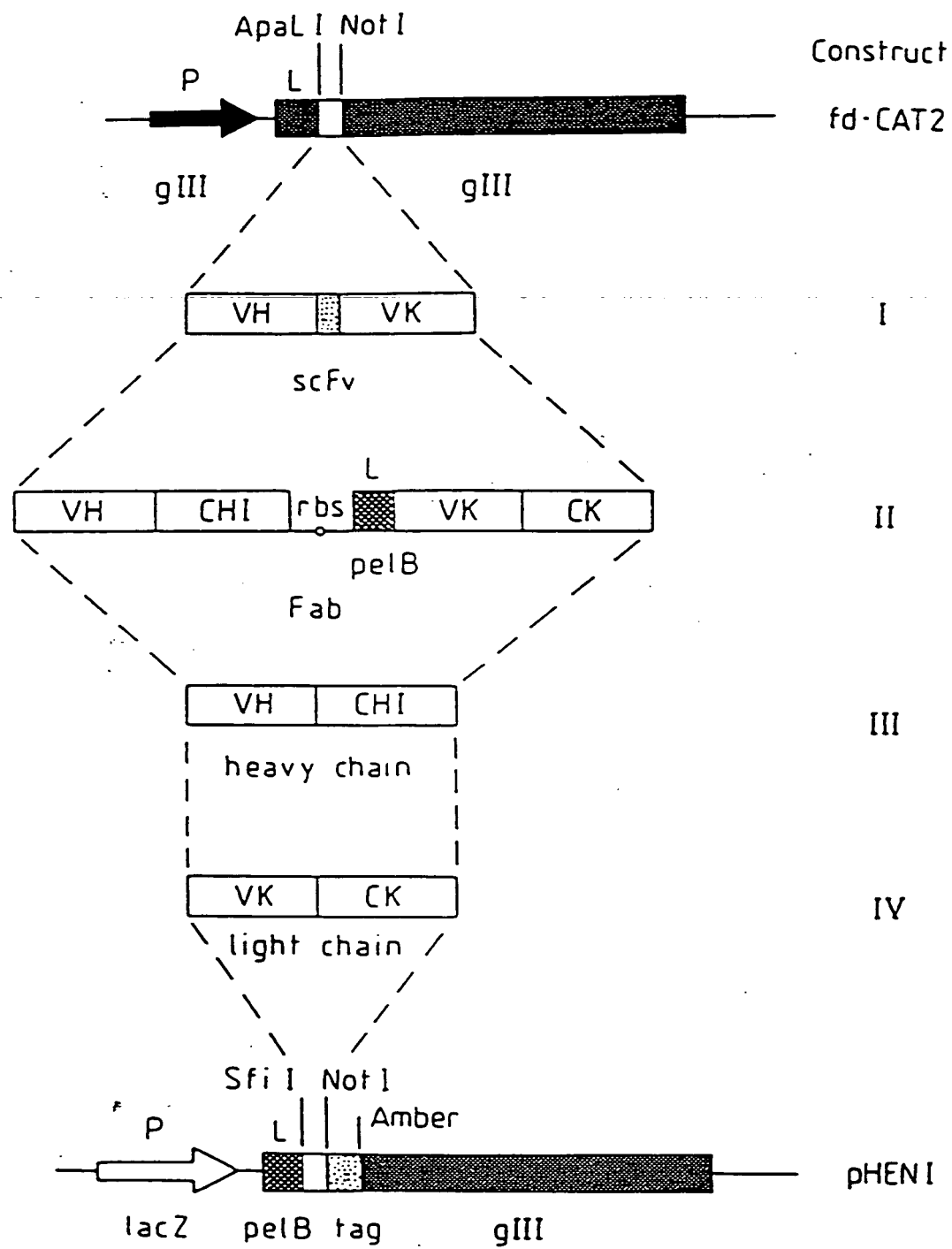


Fig.28.

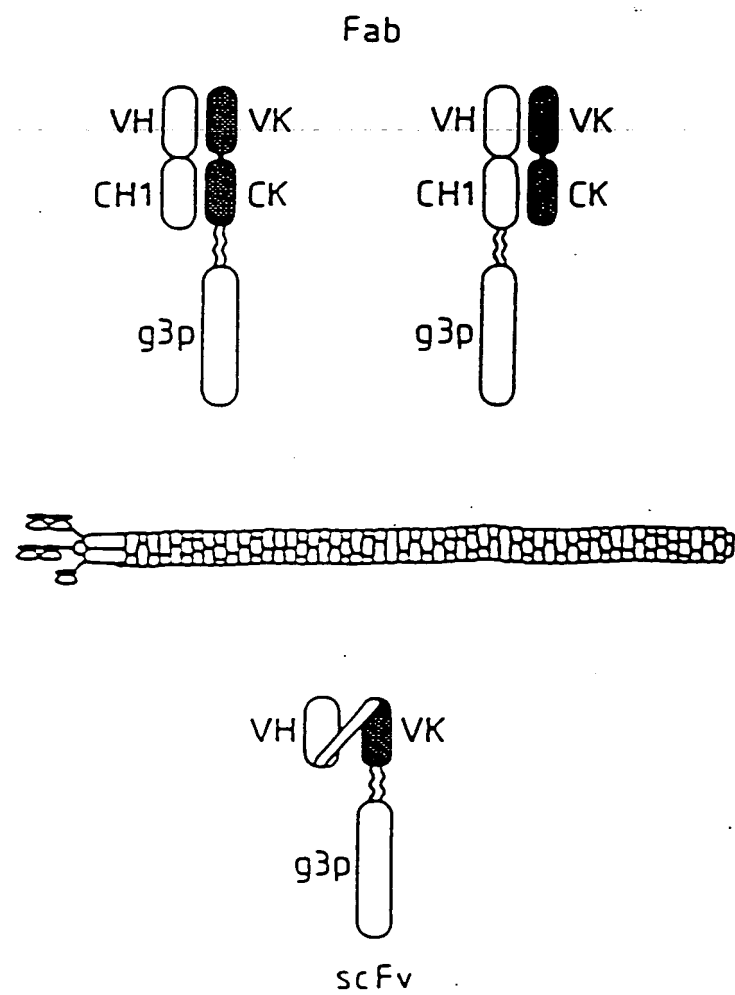


Fig.29.

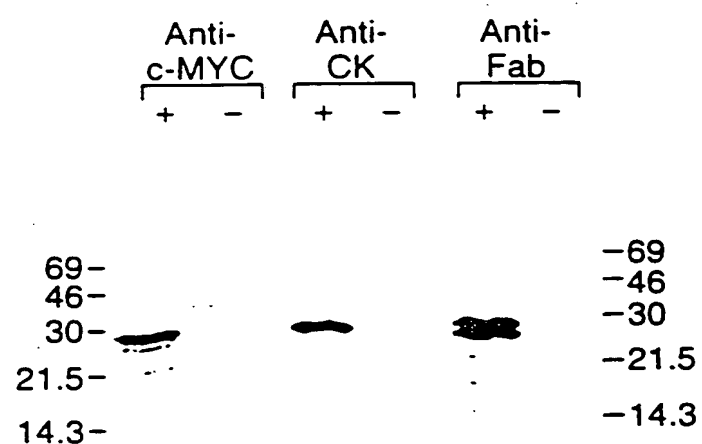


Fig.30.

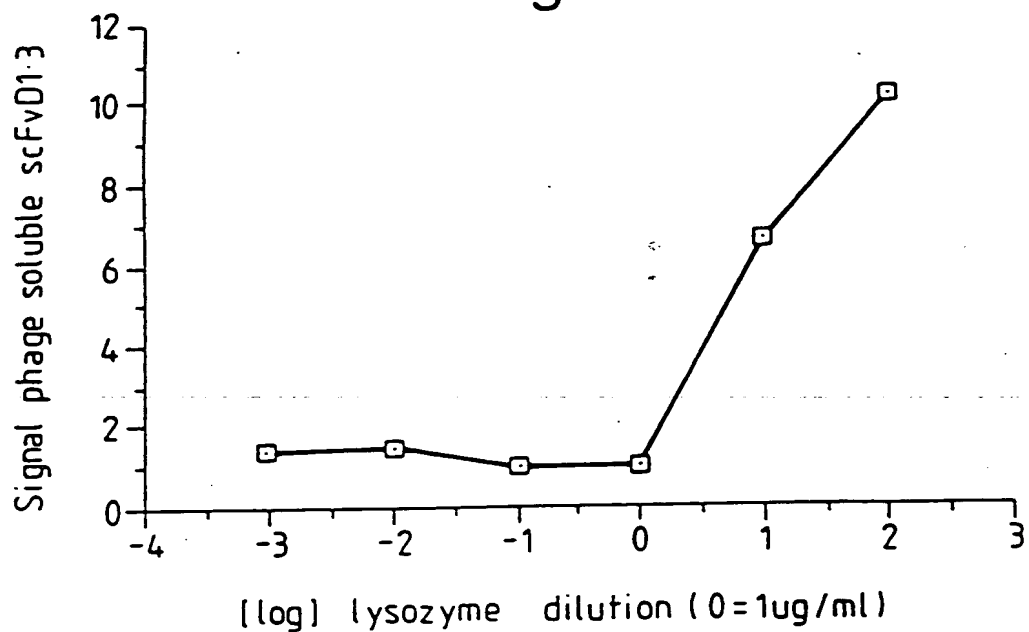


Fig.31.

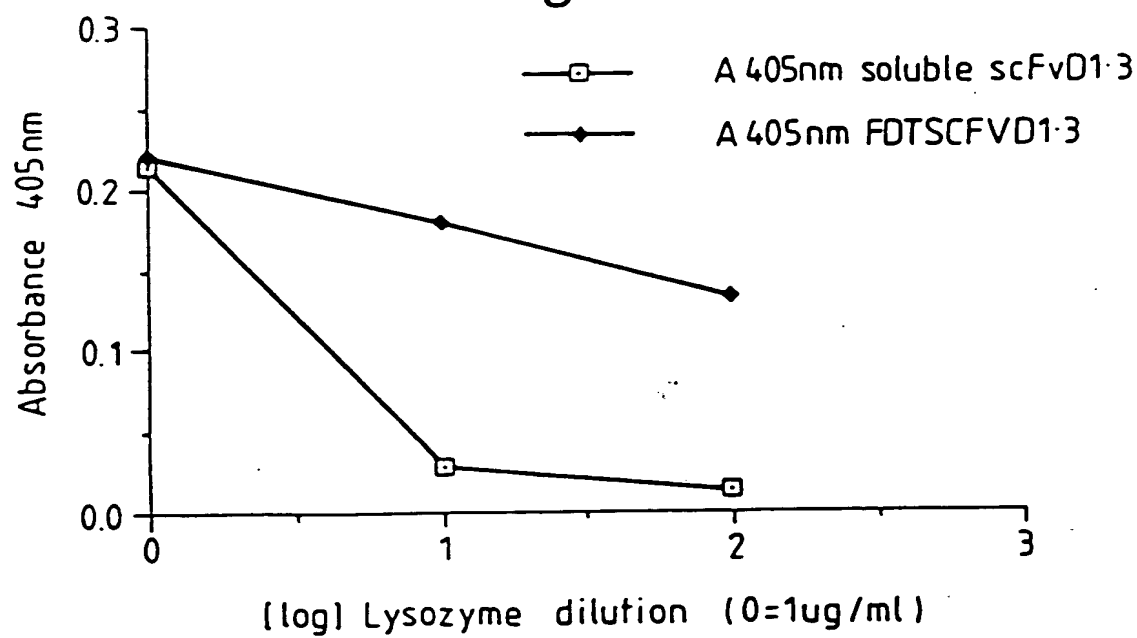


Fig.32.

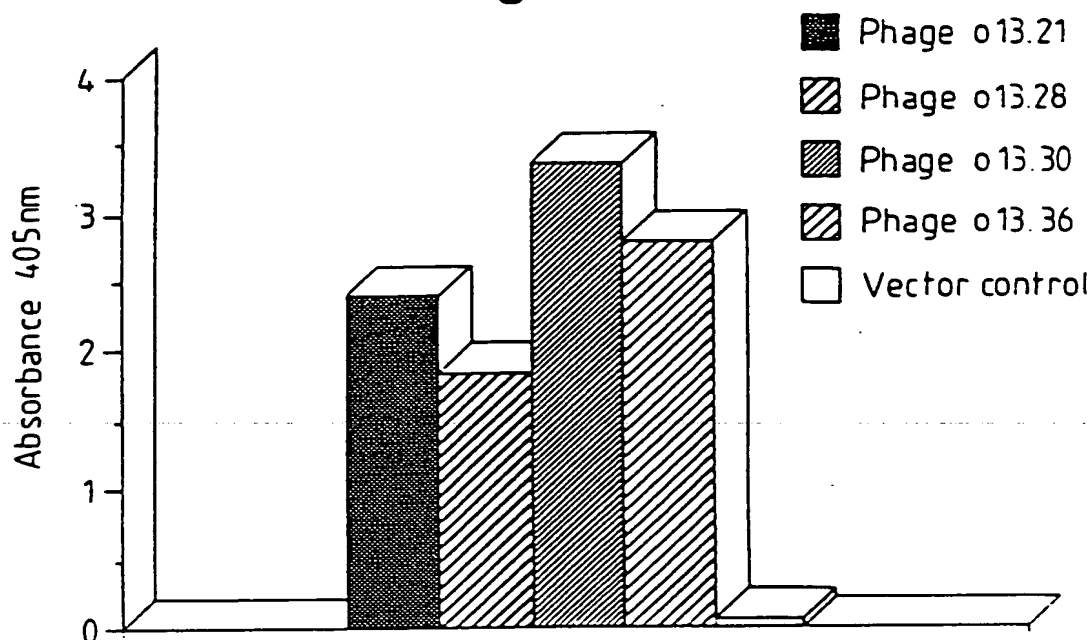


Fig.33.

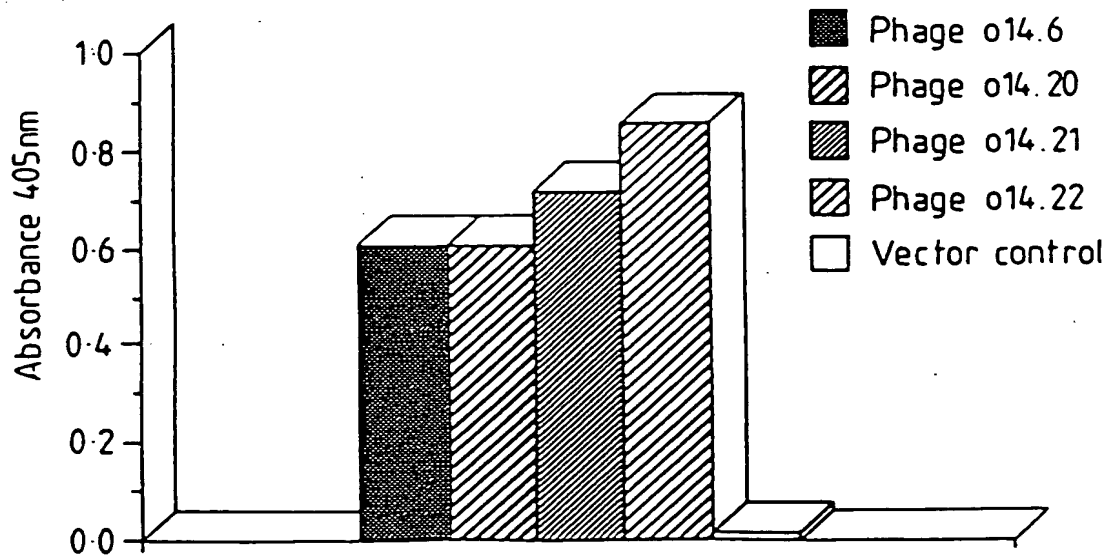


Fig.34.

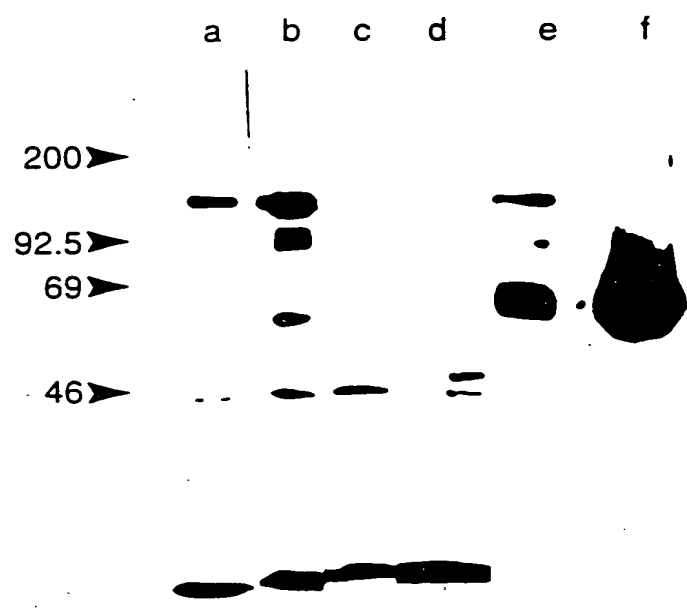


Fig.35A.

a b c

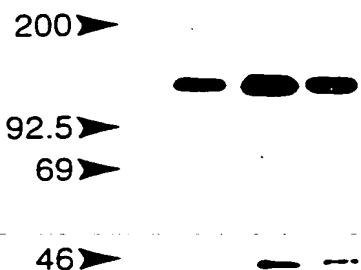


Fig.35B.

a b c d e f

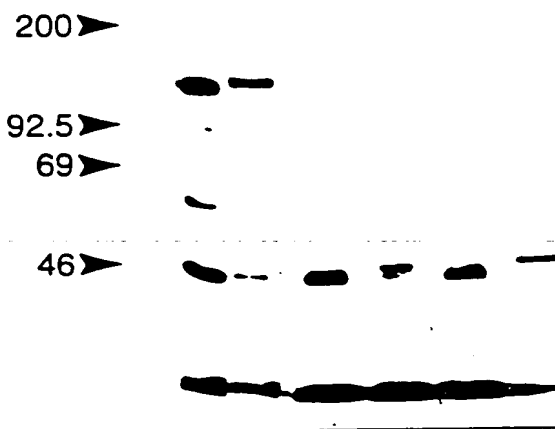


Fig.36.

M $V_{H}CH_1$ V_KCK -L +L M V_K V_H -L +L M

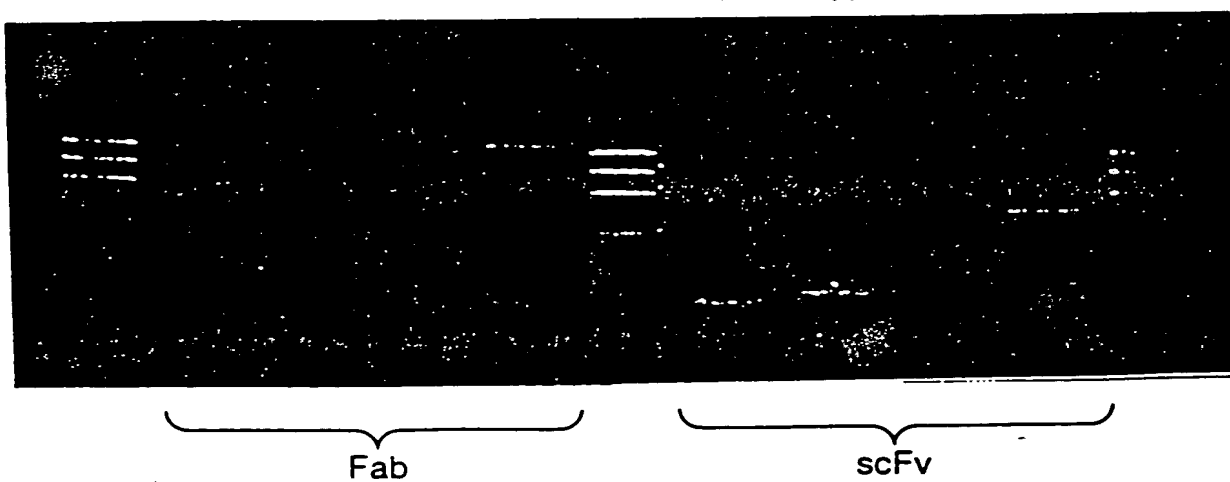


Fig.37.

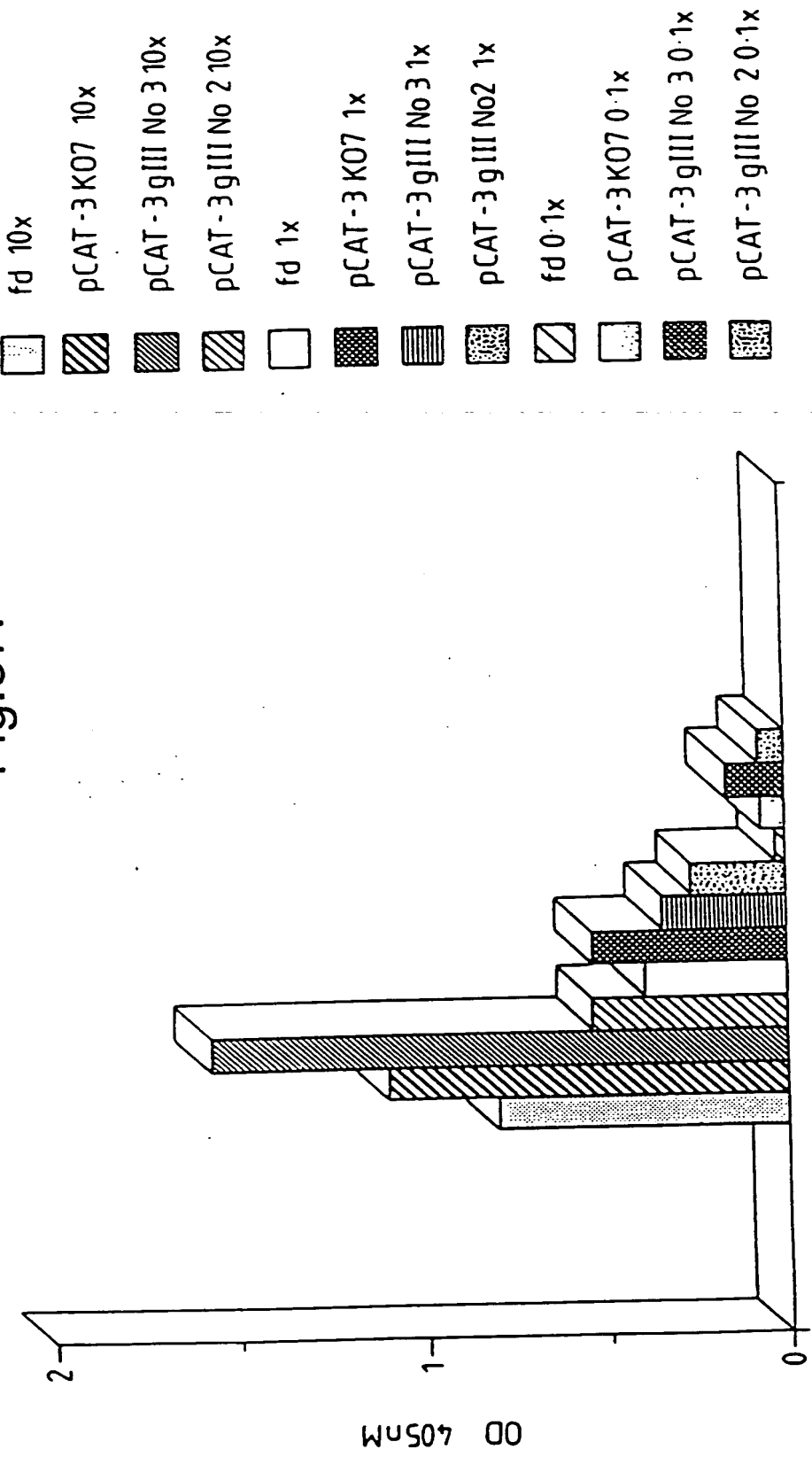


Fig.38A.



Fig.38B.

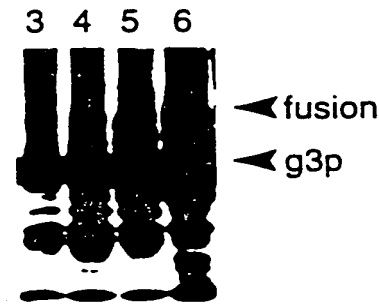


Fig.39.

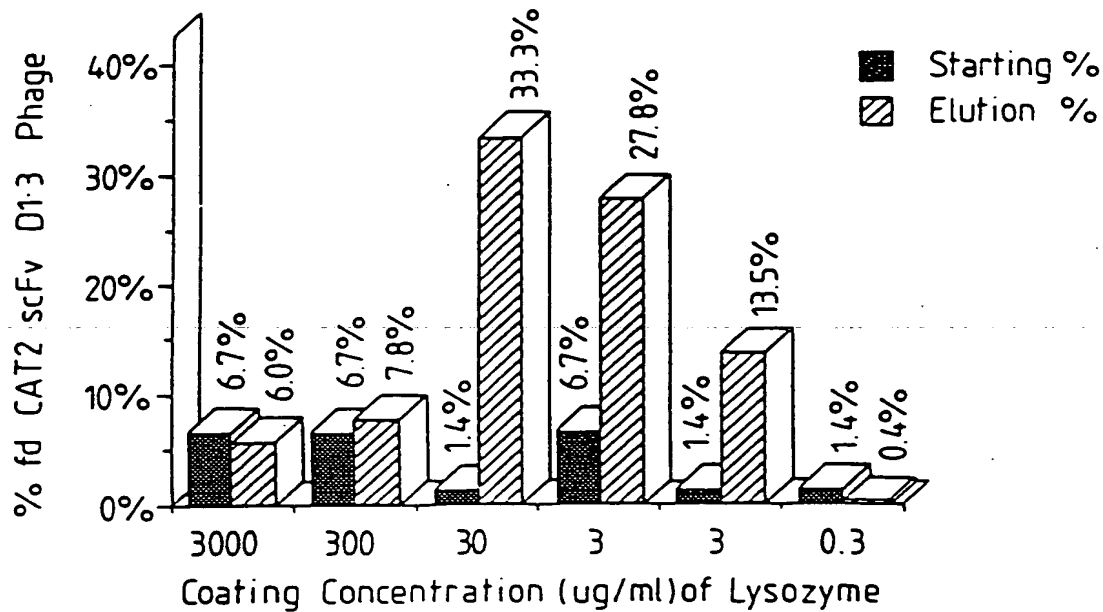


Fig.40.

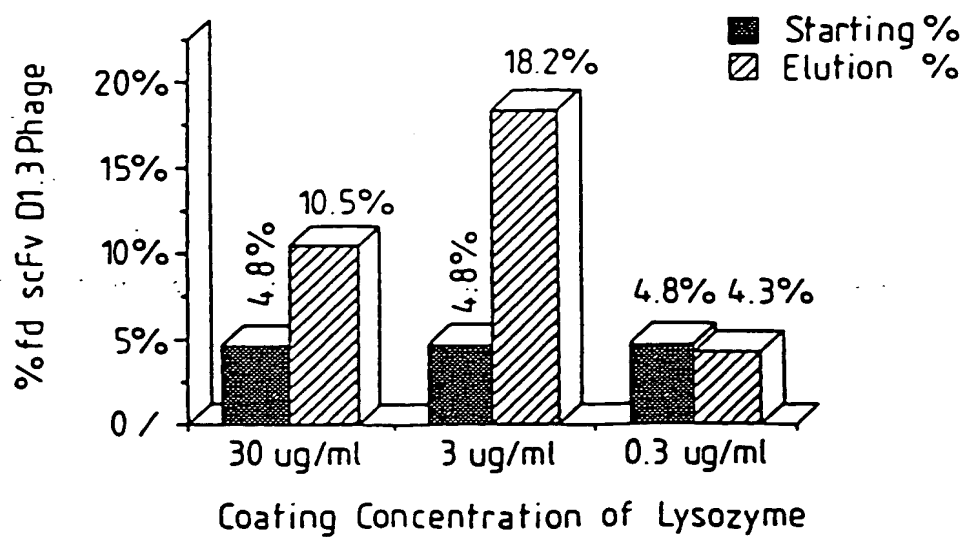


Fig.41.

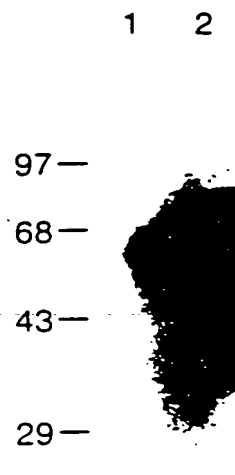


Fig.42.

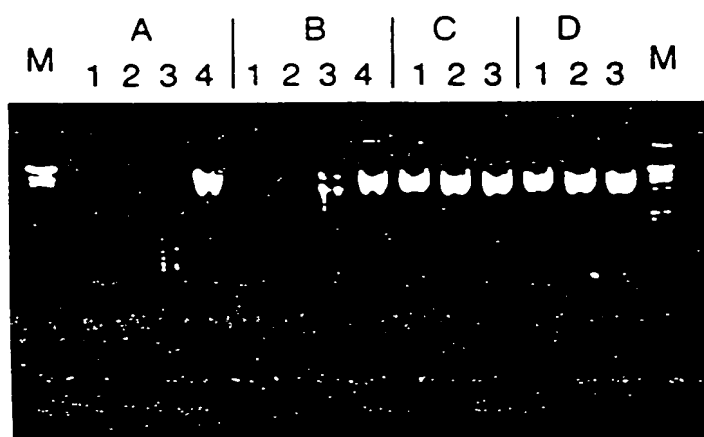


Fig.43.

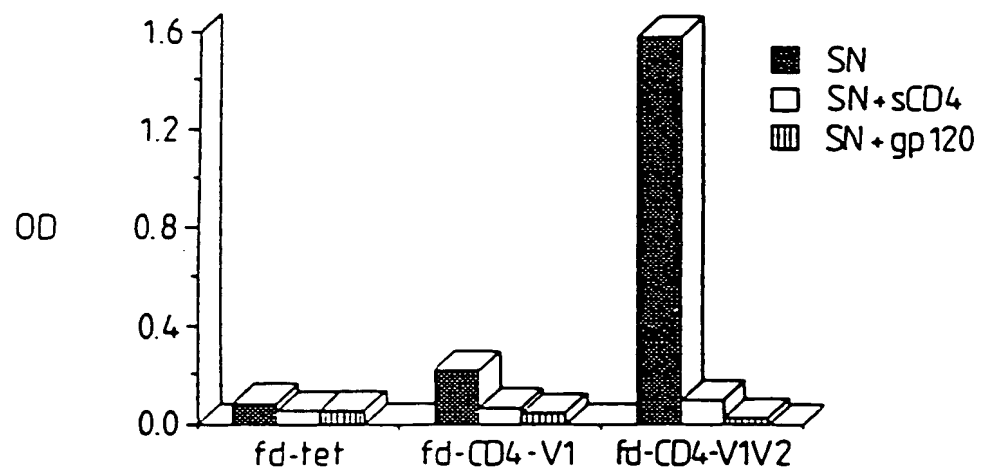


Fig. 44 (i).

Fig. 44 (iii).

640 650 660 670 680 690 700 710 720
 GGAGACAAAGGCTGCCCTCACCCATCACGGGGCACAGACTGAGGATGAGGCATAATTCTGTCCTATGGG
 CCTCTGTTCCGACGGGAGTGGTAGTGTCCCCGTGACTCTACTCCGTTATAAGACACGAGATACCATGTCGTGCTAACCCAC
 GlyAspLysAlaAlaLeuThrIleThrGlyAlaGlnThrGluAspGluAlaIleTyrPheCysAlaLeuTrpTyrSerLysSerLys
 730 740 750 760 770
 TTCGTGGAGGAACTAACTGACTGTCCTCGAGATCAAMACGGGGCGCGC
 AAGCCACCTCCTGGCTTGACTGACAGGGAGCTCTAGTTGCCCGGGCG
 PheGlyGlyIleThrLysLeuThrValLeuGluIleLysArgAlaAla

Fig.45.

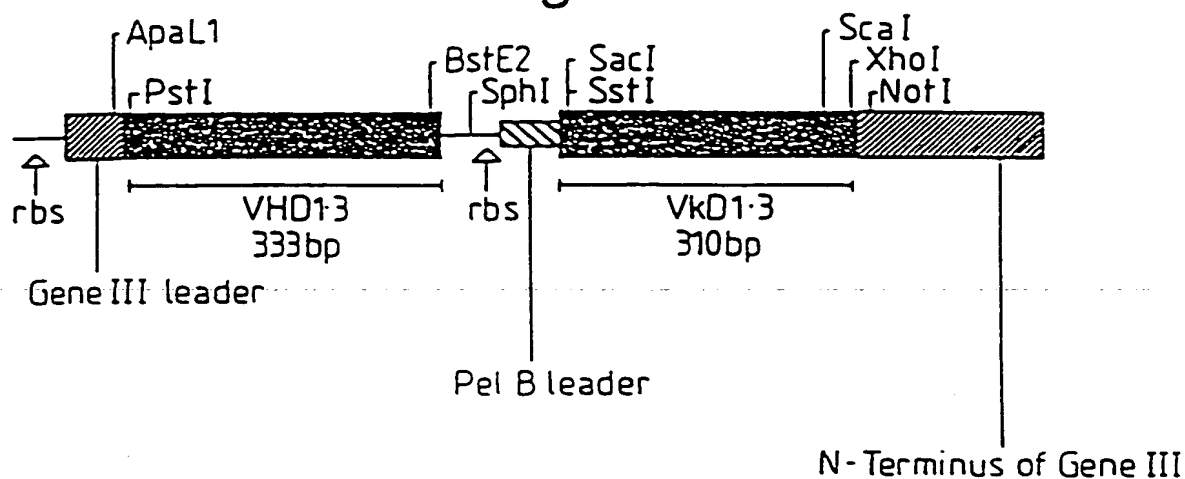


Fig.46.

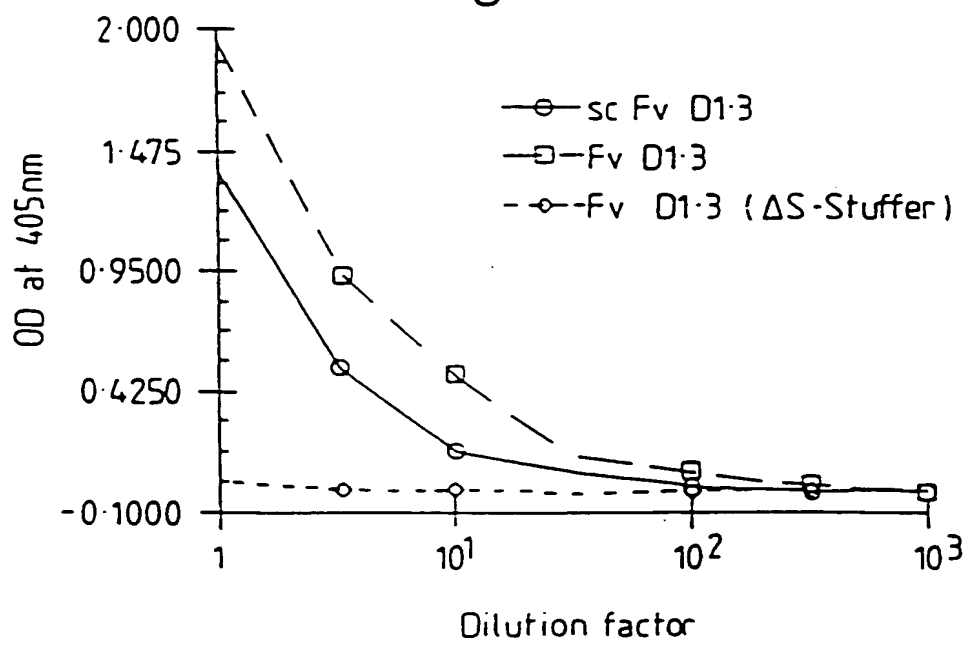
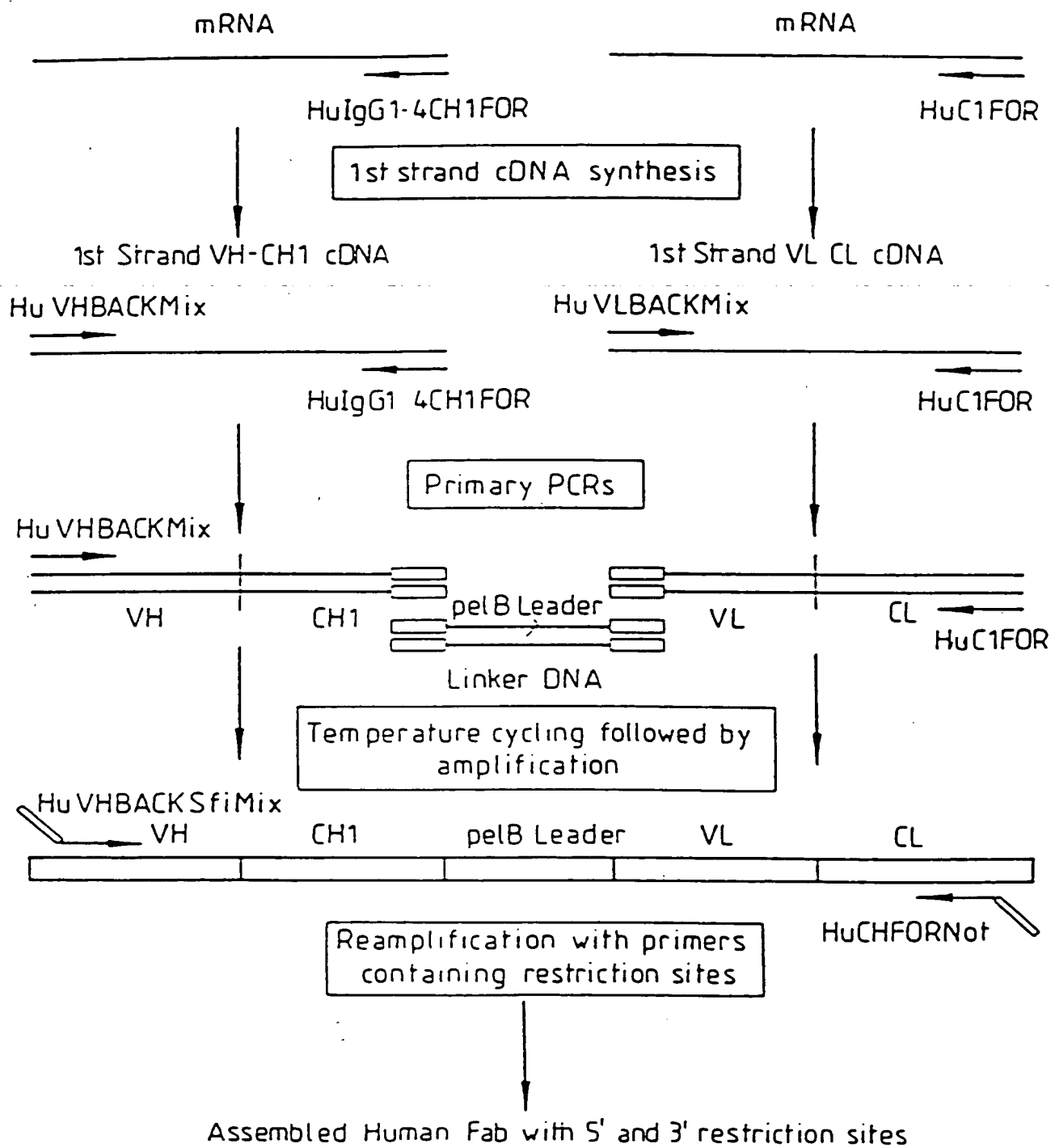


Fig.47.



09726219 4.4.2800

Fig.48(i)

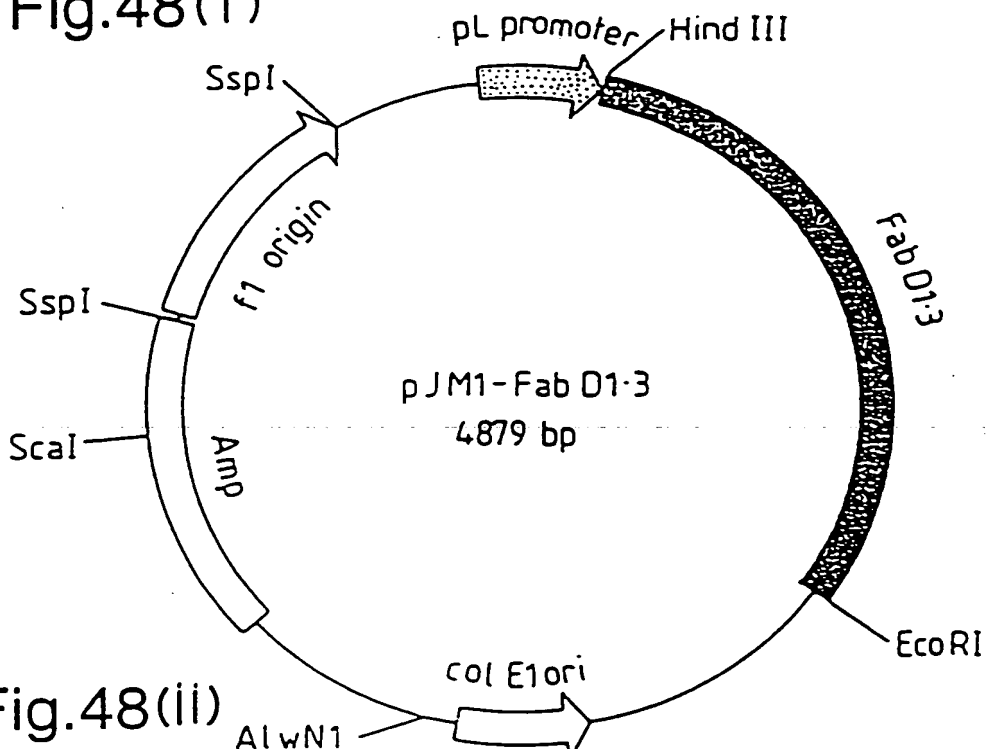


Fig.48(ii)

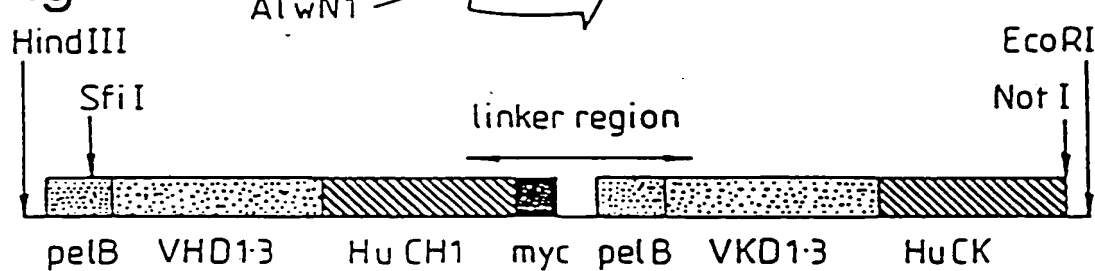


Fig.48(iii)

3' Human CH1 and hinge

K P S N T K V D K K V E P K S S T K T H T
AACCACGCAACACCAAGGTGACAAGAAAGTTGAGGCCAAATCTCAACTAAGACGGCACACA

myc peptide tag

S G G E Q K L I S E E D L N * *
TCAGGAGGTGAACAGAAGCTCATCTCAGAAGAGGATCTGAATTAAAGGGAGCTGCATGCA

pelB leader

M K Y L L P T A A A G L
AATTCATTTCAAGGAGACAGTCATAATGAAATACCTATGCTACGGCAGCCCTGGATGTT

5' V_k

L L P A A Q P A M A D I E L T Q S P
TATTAACCTGCTGCCAACCAACCAGCGATGGCGGACATGGAGTTACCCAGCTCTCC

Fig.49.

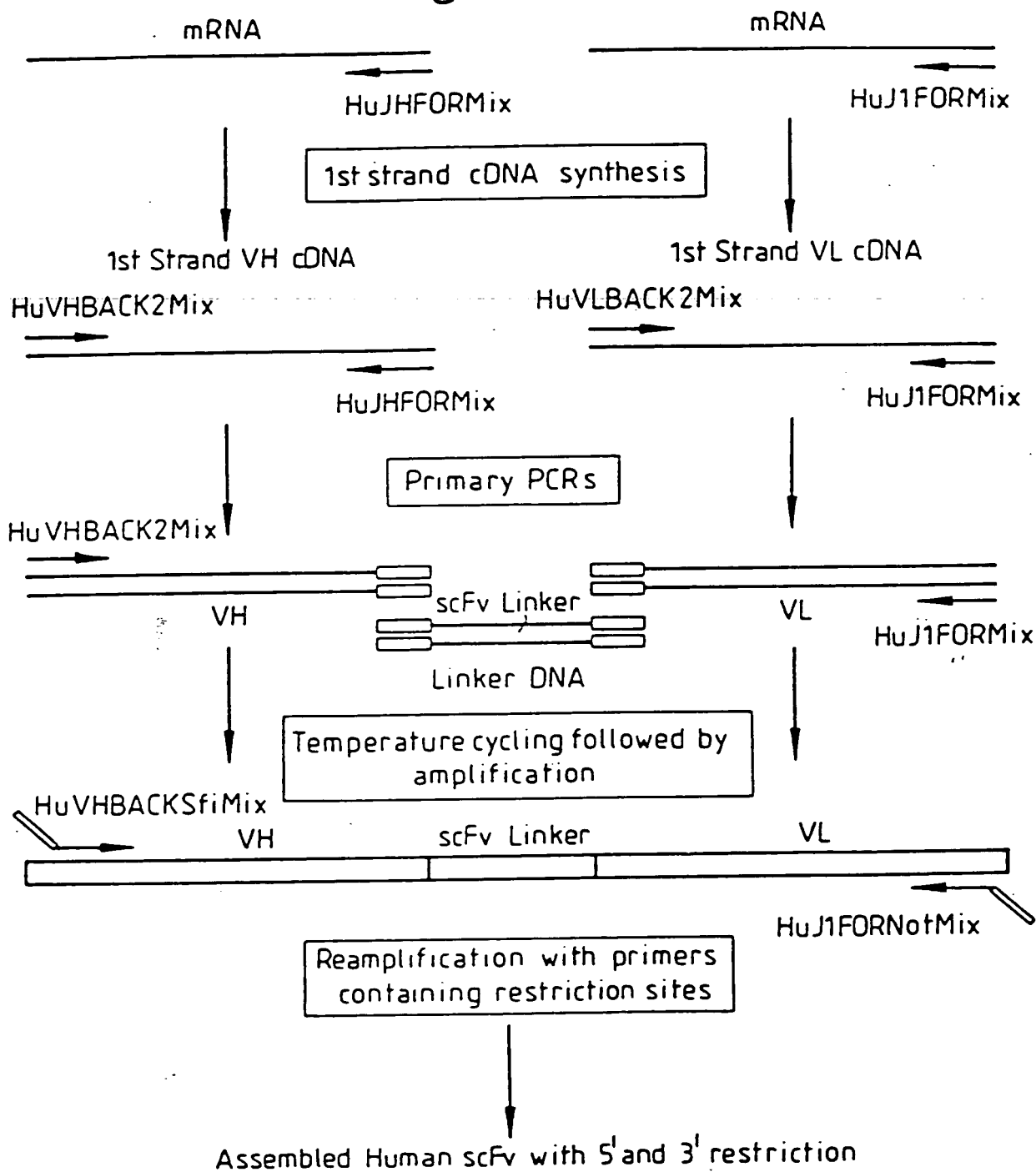


Fig.50(i)

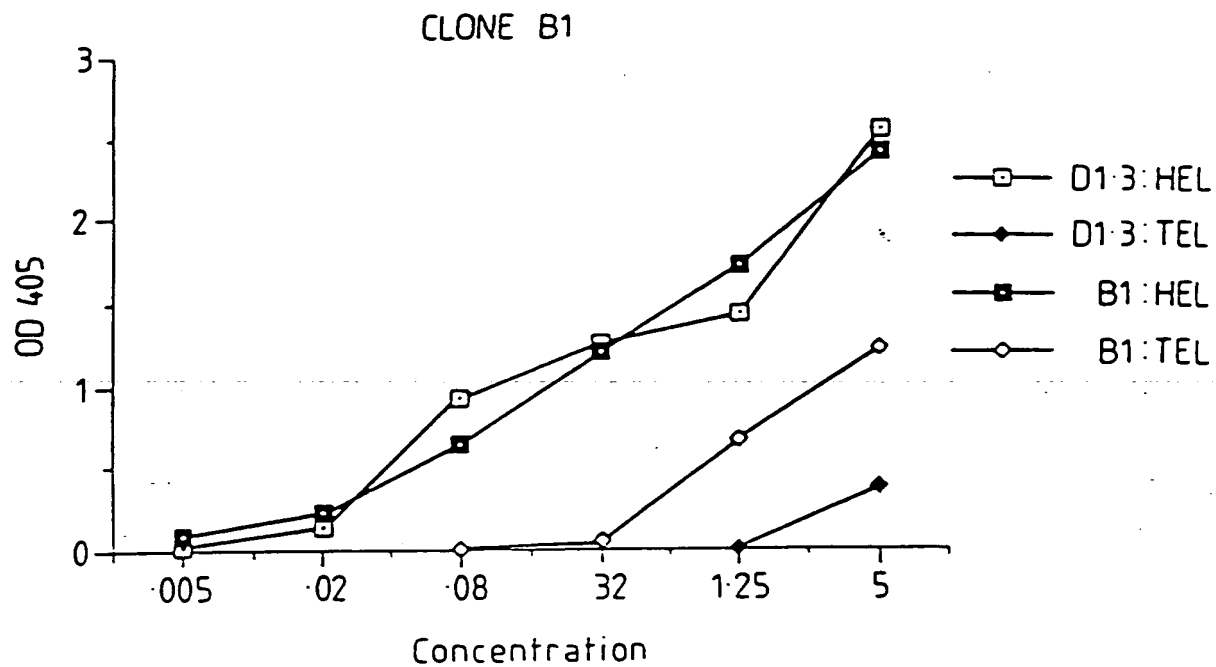


Fig.50(ii)

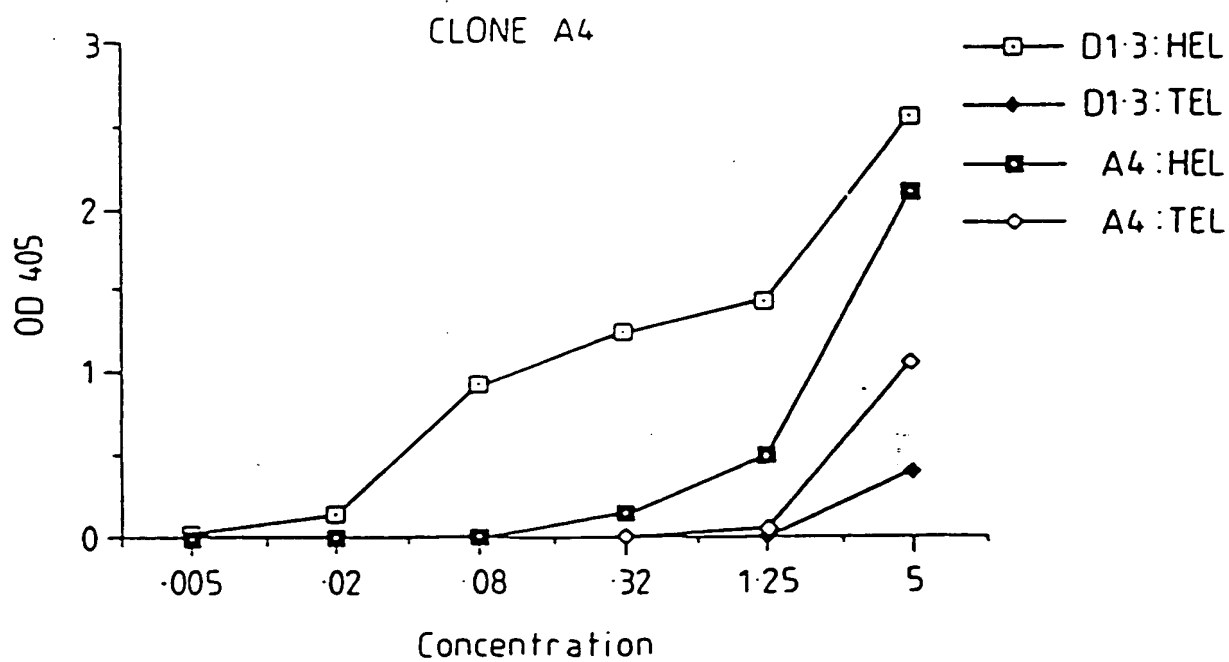


Fig.51.

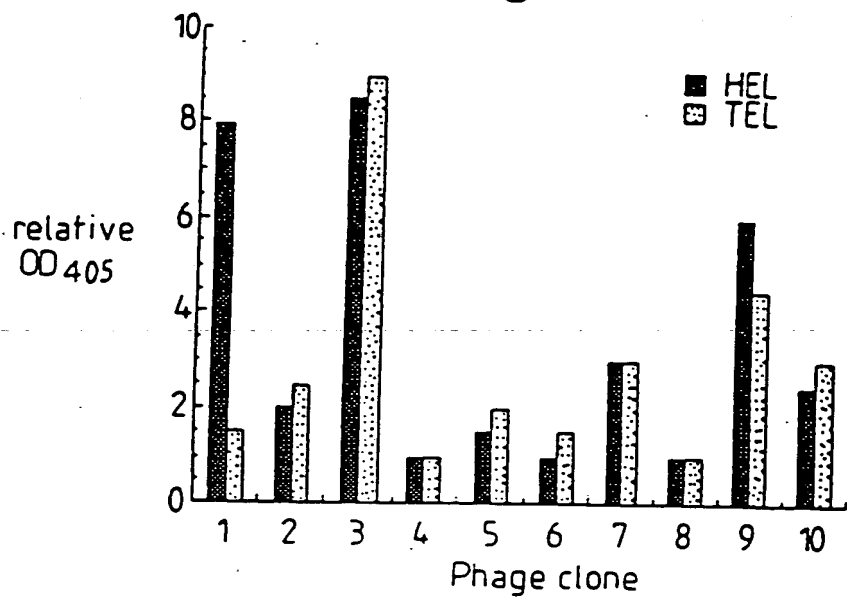


Fig.53.

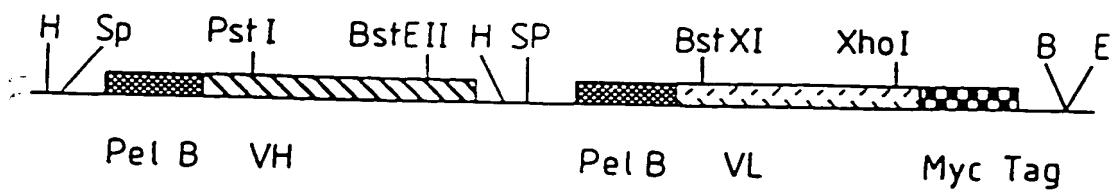


Fig. 52.

	CDR 1	CDR 2	CDR 3
D1 . 3	DIQMTQSPASSASVGETVTTITCRASGNITHNVLWYQQKQGKSPQLLVYYTTTLAD		
M1F	DIELTQSPSSLSASLGERVSLITCRASQD1GSSLNWLQQEPDGTTIKRLIYATSSLDS		
M21	DIELTQSPALMAASPGEKVTTITCSVSSSSSISSSNLWYQQKSETSPKPWIYGTSNLAS		
D1 . 3			GVPSRFSGSGSGTQYSULKINSLQPEDFGSYYCQHFWMSTPRTFGGGTKLEIKR
M1F			GVPKRFSGSRSGSDYSLTISSLESSEDVFVDDYYCQLQYASSPWTFGGGTKLELKR
M21			GVPVRFSGSGSGTYSYLTISSEMEAEDAAATYYCQQWSSSYPLTFGAGTAKLEIKR